

2017

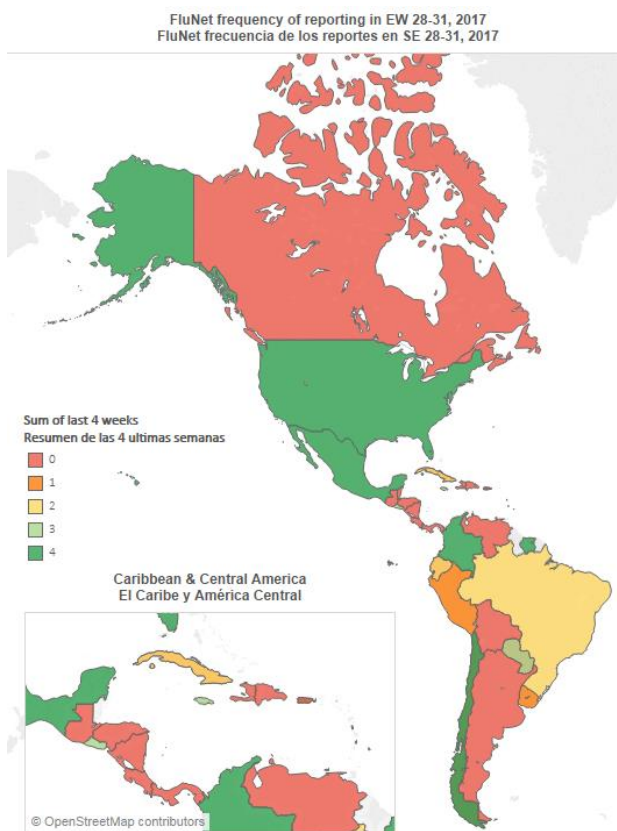
Weekly / Semanal **Influenza Report EW 33/ Reporte de Influenza SE 33**

Regional Update: Influenza & Other Respiratory Viruses /
Actualización Regional: Influenza y Otros virus respiratorios

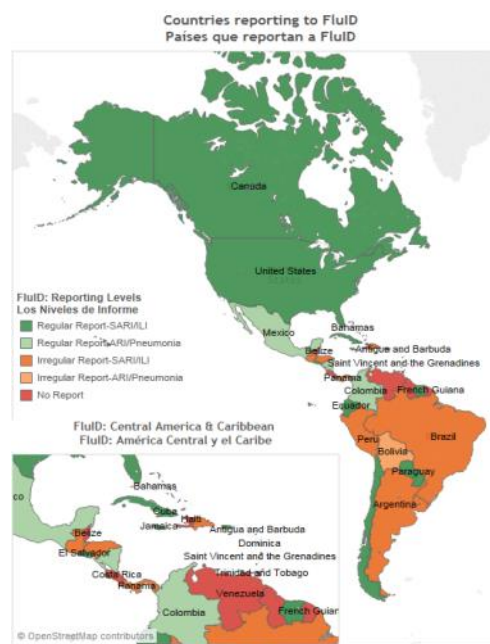
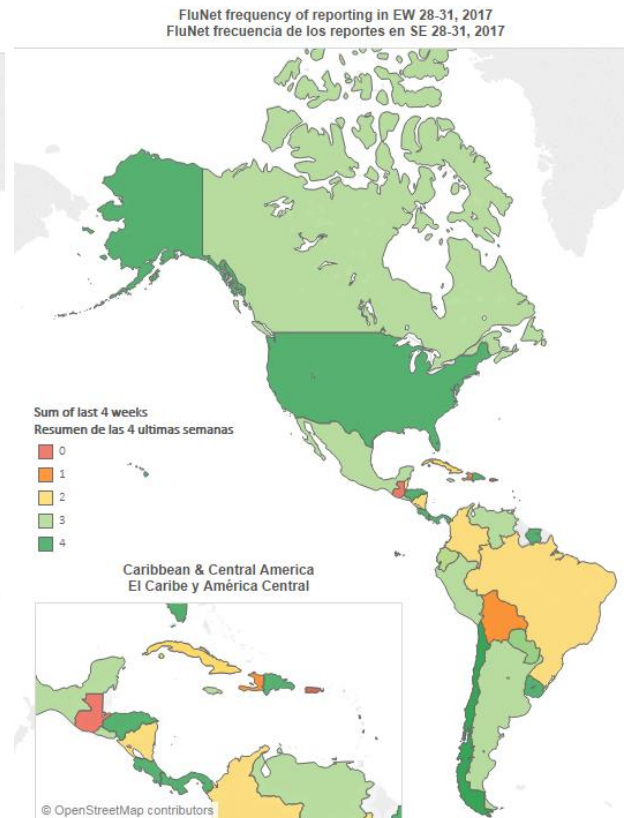


August 30, 2017
30 de agosto, 2017

FluID



FluNet



Map Production /Producción del mapa: PAHO/WHO, OPS/OMS.

Data Source / Fuente de datos:

Ministries of Health and National Influenza Centers of Member States Reports to the informatics global platforms [FluNet](#) and / Informe de los Ministerios de Salud y los Centros Nacionales de Influenza de los Estados Miembros a las plataformas informáticas globales de [FluNet](#) y [FluID](#)

[Go to Index/](#)
[Ir al Índice](#)

WEEKLY REPORT DATA SOURCES

The information presented in this update is based on data provided by Ministries of Health and National Influenza Centers of Member States to the informatics global platforms http://www.who.int/influenza/gisrs_laboratory/flunet/en/ and http://www.who.int/influenza/surveillance_monitoring/fluid/en/; and reports/weekly bulletins that Ministries of Health published on its website or shared with PAHO/WHO.

La información presentada en esta actualización se obtiene a partir de los datos notificados por los Ministerios de Salud y los Centros Nacionales de Influenza de los Estados Miembros a las plataformas informáticas globales de la OPS/OMS: [FluNet](#) y [Fluid](#); y de los informes/boletines semanales que los Ministerios de Salud publican en sus páginas web o comparten con OPS/OMS.

PAHO INFLUENZA LINKS

PAHO interactive data / Datos interactivos de la OPS:

PAHO FluNet: http://ais.paho.org/php/viz/ed_flu.asp

PAHO Fluid: <http://ais.paho.org/php/viz/flumart2015.as>

Influenza Regional Reports / Informes regionales de influenza:

In English: <http://www.paho.org/influenzareport>

En español: www.paho.org/reportesinfluenza

Severe acute respiratory infections network - SARinet
Red de las infecciones respiratorias agudas graves - SARinet:

<http://www.sarinet.org/>

REPORT INDEX

ÍNDICE DE LA ACTUALIZACIÓN

Section	Content	Page
1	<u>Weekly Summary / Resumen Semanal</u>	5
2	<u>Overall Influenza and RSV circulation / Circulación general de los virus influenza y VSR</u>	6
3	<u>Weekly and Cumulative numbers / Números semanales y acumulados</u>	7
4	<u>Epidemiological and Virologic update by country / Actualización epidemiológica y virológica por país</u>	8
5	<u>Acronyms / Acrónimos</u>	31

[Go to Index/
Ir al Índice](#)

WEEKLY SUMMARY (ENGLISH)

North America: Overall, influenza and other respiratory virus activity has decreased in North America. Influenza A(H3N2) and influenza B co-circulated in the region, but with low detections reported.

Caribbean: Low influenza and other respiratory virus activity were reported throughout most of the sub-region. In [Cuba](#), SARI activity slightly increased in recent weeks, with increased RSV activity.

Central America: Epidemiological indicators remained at moderate levels and increased influenza and RSV circulation were reported. In [El Salvador](#) and [Guatemala](#) SARI-associated hospitalizations slightly increased from recent weeks, with increased RSV activity.

Andean countries: Overall influenza and other respiratory virus activity remained low. Moderate RSV activity and SARI-related hospitalizations with co-circulation of influenza A(H3N2) and B continued in [Colombia](#).

Brazil and Southern Cone: Influenza levels trended downward and at seasonal levels, throughout most of the sub-region. Overall ILI and SARI activity began to decrease in recent weeks with influenza A(H3N2) predominating. RSV activity remained at moderate levels in Argentina, Brazil, Chile and Uruguay.

RESUMEN SEMANAL (ESPAÑOL)

América del Norte: En general, la actividad de influenza y de otros virus respiratorios ha disminuido en América del Norte. Influenza A(H3N2) e influenza B co-circulan en la región, pero con detecciones bajas reportadas.

Caribe: Se ha notificado baja actividad de influenza y otros virus respiratorios en la mayor parte de la sub-región. En [Cuba](#), la actividad de IRAG aumentó ligeramente en semanas recientes, con aumento de la circulación de VSR.

América Central: La mayoría de los indicadores epidemiológicos se mantienen moderados y se ha reportado actividad aumentada de influenza y de VSR. En [El Salvador y Guatemala](#), las hospitalizaciones asociadas a IRAG aumentaron ligeramente en semanas recientes, con aumento de la actividad de VSR.

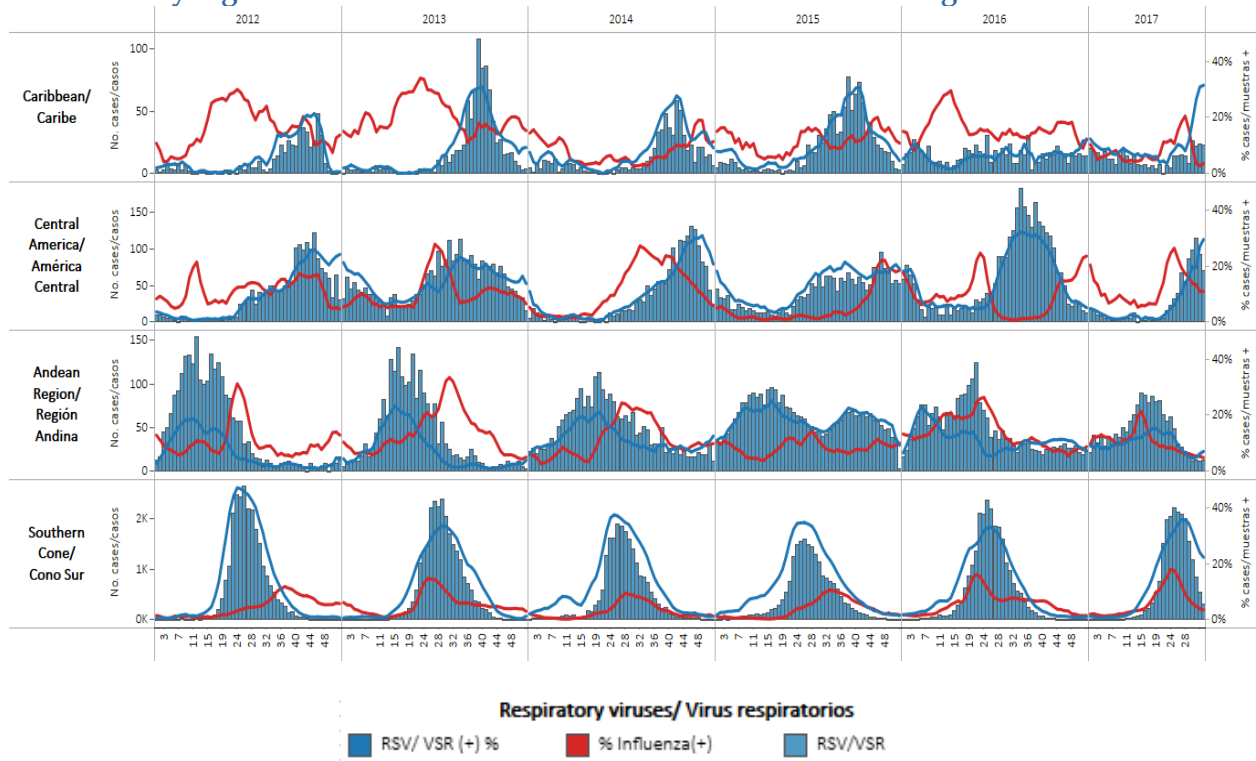
Sub-región Andina: En general, la actividad de influenza y otros virus respiratorios permaneció baja. La actividad moderada de VSR y hospitalizaciones asociadas a IRAG con co-circulación de influenza A(H3N2) y B continuaron en [Colombia](#).

Brasil y Cono Sur: Los niveles de influenza reflejaron una tendencia al descenso, a niveles estacionales, en toda la sub-región. La actividad de ETI y la actividad de IRAG comenzaron a descender en semanas recientes, con predominio de influenza A(H3N2). Se mantiene actividad moderada de VSR en Argentina, Brasil, Chile y Uruguay.

Influenza circulation by region. 2012-17



Respiratory syncytial virus (RSV) circulation by region. 2012-17



Circulación virus influenza por región. 2012-17

Circulación de virus sincicial respiratorio por región. 2012-17

Weekly and cumulative numbers of influenza and other respiratory virus, by country and EW, 2017¹ Números semanales y acumulados de influenza y otros virus respiratorios, por país y SE, 2017²

EW 33, 2017 / SE 33, 2017

	N samples/muestras	Influenza A(H3N2)	Influenza A (H1N1)pdm09	Influenza A No subtipificado	Total Influenza B	Influenza (+) %	Adenovirus	Parainfluenza	RSV/V/SR	% RSV/V/SR (+)	Bocavirus	Coronavirus	Metapneumovirus	Rinovirus	% All Positive Samples (+)
North America/ Amé.. Mexico	24	3	0	0	0	12.5%	0	0	14	37%	0	0	0	1	16.7%
Caribbean/ Caribe	Cuba	38	3	0	0	7.9%	0	2	14	37%	0	0	0	3	57.9%
	Dominican Republic	5				0.0%							1	20.0%	
	Jamaica	9	0	0	0	11.1%								11.1%	
	Suriname	11				0.0%	2		5	45%		1	72.7%		
	Trinidad and Tobago	2				0.0%			2	100%				100.0%	
Central America/ América Central	El Salvador	78	0	0	0	0.0%	0	1	43	55%					56.4%
	Guatemala	20	0	0	0	0.0%	0	0	11	55%	0	0	0	0	55.0%
	Honduras	7	0	0	0	0.0%	0	0	0	0%					0.0%
	Panama	64	4	0	0	5 14.1%	0	4	16	25%		4	10	67.2%	
Andean Region/ Región Andina	Bolivia	31	1	0	0	2 9.7%	0	0	1	3%	0	0	0	0	12.9%
	Colombia	134	5	0	0	1 4.5%	9	4	12	9%	5	4	2	3	34.3%
Brazil & Southern Cone/ Brasil y Cono Sur	Chile	1,367	6		16	24 3.4%	14	35	310	23%			98		36.8%
	Chile_IRAG	44	1	0	5	2 18.2%	1	2	23	52%	0	0	10	0	100.0%
	Paraguay	22	0	0	0	1 4.5%	0	0	0	0%	0	0	0	0	4.5%
	Uruguay IRAG	29				0.0%	1	9	31%		1				37.9%
Grand Total		1,865	23	0	21	36 4.2%	26	49	446	24%	5	4	117	17	39.5%

EW 32, 2017 / SE 32, 2017

*Note: These countries reported in EW 33, but have provided data up to EW 32.

*Nota: Estos países reportaron en la SE 33, pero han enviado los datos hasta la SE 32.

	N samples/ muestras	Influenza A(H3N2)	Influenza A (H1N1) pdm09	Influenza A No subtipificado	Total Influenza B	Influenza (+) %	Adenovirus	Parainfluenza	RSV/V/SR	% RSV/V/SR (+)	Bocavirus	Coronavirus	Metapneu..	Rinovirus	% All Positive Samples (+)
North America/ América del Norte	Canada	1,536	8	1	5	4 1.2%									1.2%
	USA	4,873	5	0	69	55 2.6%									2.6%
Grand Total		6,409	13	1	74	59 2.3%									2.3%

Cumulative, EW 30-33, 2017 / Acumulado, SE 30-33, 2017

	N samples/ muestras	Influenza A A(H3N2)	Influenza A (H1N1)pdm09	Influenza A No subtipificado	Total Influenza B	Influenza (+) %	Adenovirus	Parainfluenza	RSV/V/SR	% RSV/V/SR(+)	Bocavirus	Coronavirus	Metapneumovirus	Rinovirus	% All Positive Samples (+)
North America/ América del Norte	Canada	4,954	36	6	20	13 1.5%									1.5%
	Mexico	559	50	1	0	9 10.9%	0	0	1	0%	0	0	0	9	12.7%
	USA	16,751	42	8	234	155 2.6%									2.6%
Caribbean/ Caribe	Barbados	17			2	11.8%	1	1	5	29%					52.6%
	Cuba	151	8	0	0	0 5.3%	0	3	57	38%	0	2	0	11	53.6%
	Cuba IRAG	132	3	0	1	0 3.0%	0	3	55	42%	0	0	0	9	53.8%
	Dominica	1				0 0.0%									0.0%
	Dominican Republic	66				0 0.0%									21.2%
	Haiti	16	0	0	0	0 0.0%	0	0	0	0%	0	0	0	0	0.0%
	Jamaica	31	0	0	0	2 6.5%									6.5%
Central America/ América Central	Suriname	32				0 0.0%	2								68.8%
	Trinidad and Tobago	9			1	11.1%									66.7%
	Costa Rica	345	4	0	1	27 9.3%	13	8	70	20%		13	8	70	62.0%
	El Salvador	337	1	0	0	0 0.3%	0	3	151	45%					46.0%
Andean Region/ Región Andina	Guatemala	136	0	0	2	1 2.2%	2	1	78	57%	0	0	8	0	67.6%
	Honduras	77	1	0	0	0 1.3%	1	0	9	12%					14.3%
	Nicaragua	497	75		57	26.6%	14	5	1	1%			4		31.2%
Brazil & Southern Cone/ Brasil y Cono Sur	Panama	340	24	0	0	25 14.4%	8	32	63	19%			26	54	68.2%
	Bolivia	176	2	0	0	7 5.1%	0	1	1	1%	0	0	0	0	6.3%
	Colombia	615	23	1	0	8 5.2%	40	18	45	7%	24	17	10	14	33.3%
	Ecuador	57				2 3.5%	1								7.0%
	Ecuador IRAG	26	0	0	0	0 0.0%	0	0	0	0%					0.0%
Argentina	Peru	93	7	0	0	1 8.6%	0	2	4	4%	0	0	4	5	24.7%
	Venezuela	4	1	0	0	0 25.0%	0	0	0	0%	0	0	0	0	25.0%
	Brazil_II	257	11	1	1	15.2%	7	2	7	3%					32.7%
Brazil & Southern Cone/ Cone Sur	Chile	5,850	80		72	92 4.2%	65	112	1,494	26%					38.6%
	Chile_IRAG	372	12	0	6	9 7.3%	7	11	110	30%	0	0	49	2	55.4%
	Paraguay	327	7	0	0	26 10.1%	2	0	8	2%	0	0	20	0	19.3%
	Paraguay IRAG	285	4	0	0	8 4.2%	0	1	16	6%	0	0	13	0	14.7%
	Uruguay IRAG	142	4			1 4.2%	1	6	56	39%			1		49.3%
Grand Total		37,040	416	17	425	570 3.9%	233	418	3,646	10%	24	32	660	174	18.0%

Total Influenza B, EW 21-31, 2017

	Total Influenza B	B Victoria	B Yamagata	B linaje no determinado	% B Victoria	% B Yamagata
North America/ América del Norte	1,496	65	193	1,238	25.2%	74.8%
Caribbean/ Caribe	90	26	0	64	100.0%	0.0%
Central America/ América Central	498	59	38	401	60.8%	39.2%
Andean Region/ Región Andina	110	18	14	78	56.3%	43.8%
Brazil & Southern Cone/ Brasil y Cono Sur	958	83	209	907	28.4%	71.6%
Grand Total	3,152	251	454	2,688	35.6%	64.4%

1 The detection of respiratory viruses other than influenza depends on the diagnostic capacity of each country and monitoring system. The absence of report of other respiratory viruses does not indicate the absence of their circulation.

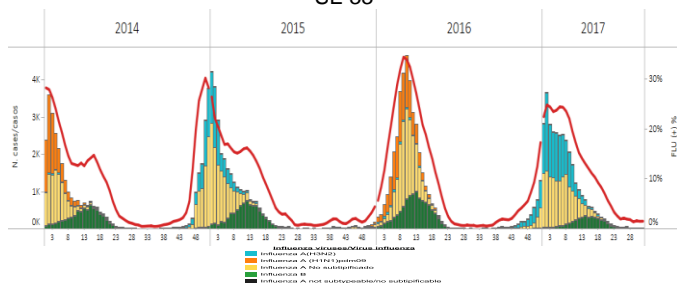
2 La detección de otros virus respiratorios diferentes a influenza depende de la capacidad diagnóstica de cada país y del sistema de vigilancia establecido. El que no se reporten otros virus respiratorios, no significa, ni indica la ausencia de circulación viral.

North America / América del Norte:

Canada

- Graph 1.** During EW 33, influenza activity remained at low levels as compared to the previous week, with an influenza percent positivity of ~3%; influenza A(H3N2) and B co-circulated in recent weeks. / Durante la SE 33, la actividad de influenza permaneció a niveles bajos en relación a la semana previa con un porcentaje de positividad de influenza de ~3%; con predominio de influenza B en las últimas semanas
- Graph 2.** The percent of ILI visits to healthcare professionals among all consultations slightly increased during EW 33 (1.8%). / El porcentaje de consultas por ETI a profesionales de la salud sobre el total de consultas aumentó ligeramente durante la SE 33 (1,8%).
- Graph 3,4.** During EW 30-33, 13 influenza-associated hospitalizations were reported and the counts have decreased from prior weeks, with 11 hospitalizations due to influenza A. Two ICU admissions and no deaths were reported. To date this season, 67% of all hospitalizations were in adults over 65 years of age. During EW 30-33, sentinel sites reported one pediatric hospitalization, while surveillance for adult hospitalizations has ended for this season. The number of pediatric (≤ 16 years of age) hospitalizations reported in EW 33 remains below the six year average for the same time period. / Durante la SE 30-33, se han reportado 13 hospitalizaciones asociadas a influenza y los casos han disminuido respecto a semanas previas, con 11 hospitalizaciones debidas a influenza A. Se han notificado dos admisiones a UCI y ningún fallecido. Hasta la fecha, 67% de todas las hospitalizaciones en este período se observaron en adultos mayores de 65 años. Durante la SE 30-33, los sitios centinela notificaron una hospitalización pediátrica, en tanto la vigilancia de hospitalizaciones en adultos ha finalizado para esta temporada. Las hospitalizaciones en pediátricos (≤ 16 años de edad) notificadas en SE 33 se encontraron por debajo del promedio de seis años para el mismo período.

Graph 1. Canada: Distribución de virus de influenza por SE, 2016 -17. SE 33



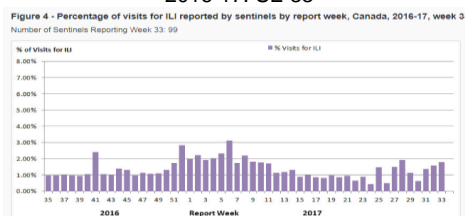
Graph 3. Canada: Número de hospitalizaciones, admisiones de UCI, y fallecidos por edad y tipo de influenza, 2016-17. SE 33.

Age Groups (years)	Cumulative (August 28, 2016 to August 19, 2017)						
	Hospitalizations		ICU Admissions		Deaths		
	Influenza A Total	Influenza B Total	Total # (%)	Influenza A and B Total	%	Influenza A and B Total	%
0-4	448	95	543 (8%)	20	7%	<5	x%
5-19	241	100	341 (5%)	20	7%	<5	x%
20-44	298	53	351 (5%)	27	10%	5	1%
45-64	766	143	909 (14%)	83	30%	37	10%
65+	3971	427	4398 (67%)	124	45%	340	88%
Total	5724	818	6542 (99%)	274	99%	387	100%

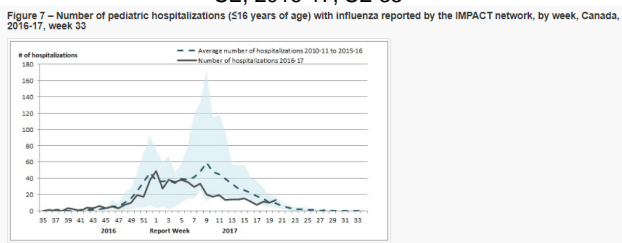
Suppressed to prevent residual disclosure

Graph 2. Canada: ILI consultation rates by sentinel and EW, 2016-17. EW 33

Tasa de consultas de ETI por vigilancia centinela y SE, 2016-17. SE 33



Graph 4. Canada: Número de hospitalizaciones pediátricos, por SE, 2016-17, SE 33



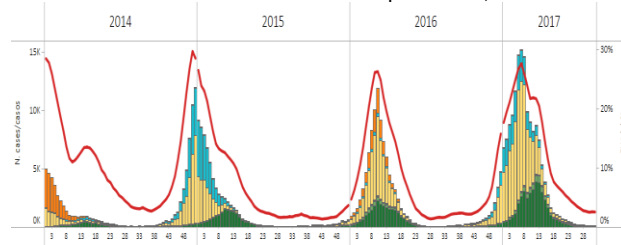
United States

- Graph 1.** During EW 33, influenza activity slightly increased (2.7% of samples tested were positive for influenza) with influenza A predominating. / Durante la SE 33, la actividad de influenza disminuyó ligeramente (2,7% de todas las muestras fueron positivas para influenza) con predominio de influenza A.
- Graph 2.** In EW 33, RSV positivity (12.2%) slightly increased while adenovirus positivity and parainfluenza positivity remained at low levels as compared to the previous week. / En la SE 32, la positividad de VSR (12,2%) aumentó ligeramente mientras que la positividad de adenovirus y la positividad de parainfluenza permanecieron a niveles bajos en comparación a lo observado en la semana previa.
- Graph 3,4.** During EW 31, pneumonia and influenza mortality slightly decreased as compared the prior week (5.2%) but was below the epidemic threshold (5.9%) for EW 31. During EW 33, no influenza-associated pediatric deaths were reported. A total of 104 influenza-associated pediatric deaths were reported during the 2016-2017 season./ Durante la SE 31, la tasa de mortalidad por neumonía e influenza disminuyó ligeramente en

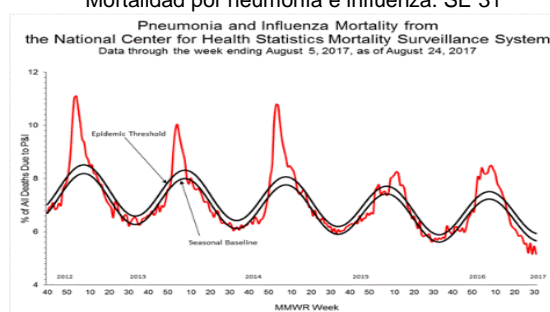
comparación a la semana previa (5,2%) aunque estuvieron por debajo del umbral epidémico (5,9%) para la SE 31. Durante la SE 33, no se notificaron muertes pediátricas asociadas a influenza. Un total de 104 muertes pediátricas asociadas a influenza fueron notificadas durante la temporada 2016-2017.

- During EW 33, national ILI activity continued at low levels (0.7% of visits) and was below the national baseline of 2.2%. All ten regions reported a proportion of ILI visits below their region-specific baseline levels. / Durante la SE 33, la actividad nacional de ETI continuó en niveles bajos (0,7% de las consultas) y se ubicó por debajo de la línea de base nacional de 2,2%. Todas las diez regiones notificaron una proporción de consultas por ETI por debajo de sus líneas de base regionales.
- As of EW 32, 17 human infections with influenza A(H3)v variant were detected in three states: 15 human infections with influenza A(H3N2)v variant virus were detected in Ohio; 1 influenza A(H3N2)v variant in North Dakota and one influenza A(H3)v variant in Pennsylvania All cases reported exposure to swine in a fair setting during the week preceding illness onset. 90% of infections were in children under 18 years of age, two patients were adults aged 50-64 years, and >64 years, respectively. All cases were treated as outpatients with full recovery from their illness, except for one hospitalization. No human-to-human transmission has been identified. Swine influenza A(H3N2) viruses were identified from respiratory samples collected from pigs at the same fair. Investigation is ongoing in public health and agriculture sectors, but no increased ILI cases were reported in the community. During the 2017 season, 18 influenza A (H3)v variant infections were reported nationwide –Ohio (15), North Dakota (1), Pennsylvania (1) and Texas (1)-, and one human infection with influenza A(H1N2) variant (H1N2) v virus was detected in Ohio.³⁴ / Hasta la SE 32, se detectaron 17 infecciones en humanos con influenza A(H3)v variante en tres estados: 15 infecciones en humanos con influenza A(H3N2)v variante en Ohio, 1 influenza A(H3N2)v variante en North Dakota y 1 influenza A(H3)v variante en Pennsylvania. Todos los casos reportaron exposición a cerdos en el marco de una feria durante la semana anterior al inicio de síntomas. 90% de las infecciones fueron en niños menores de 18 años de edad, dos pacientes fueron adultos de 50-64 años y > de 64 años, respectivamente. Todos los casos fueron ambulatorios y con recuperación ad integrum, excepto una hospitalización. No se identificó transmisión de humano a humano. Se identificó influenza porcina A(H3N2) de muestras respiratorias recolectadas de cerdos en la misma feria. La investigación se encuentra en curso en los sectores de salud pública y agricultura, si bien no se reportó aumento de casos de ETI en la comunidad. Durante la temporada 2017, 18 infecciones por influenza A(H3)v variante fueron notificadas en todo el país – Ohio (15), North Dakota (1), Pennsylvania (1) y Texas (1)-; y una infección humana por un virus influenza A(H1N2) variante (H1N2) v fue detectado en Ohio.

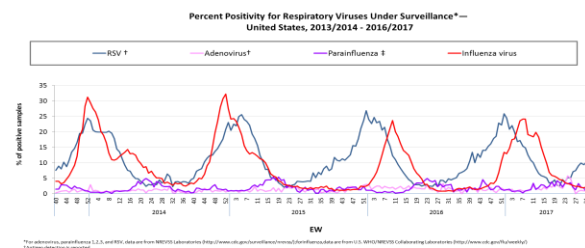
Graph 1. US: Influenza virus distribution by EW 33, 2016-17
Distribución de virus de influenza por SE 33, 2016-17



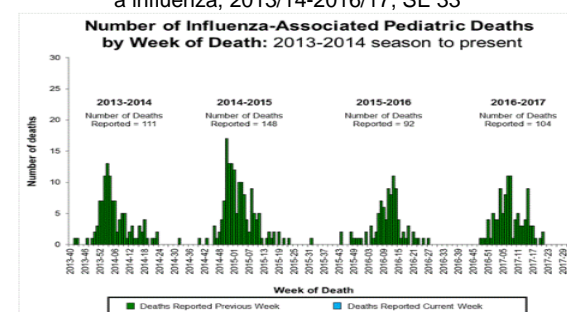
Graph 3. US: Pneumonia and influenza mortality. EW 31
Mortalidad por neumonía e influenza. SE 31



Graph 2. US: Percent positivity for respiratory virus EW 33
Porcentaje de positividad para virus respiratorios, por SE 33, 2013/14-2016/17



Graph 4. US: Numero de fallecidos pediatricos asociados a influenza, 2013/14-2016/17, SE 33

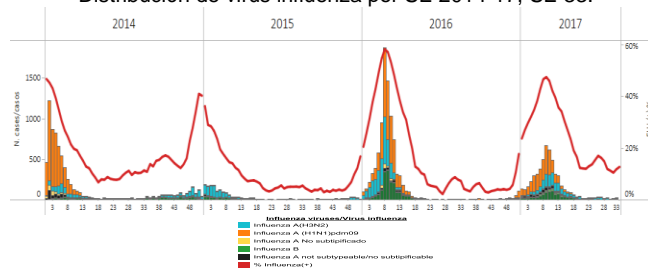


³ CDC (2017) Weekly U.S. Influenza Surveillance Report . Available at: <https://www.cdc.gov/flu/weekly/>

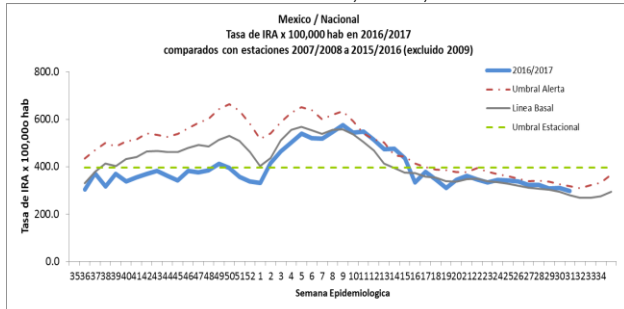
⁴ WHO (2017) Influenza at the human-animal interface. 16 June 2017 to 25 July 2017. Available at: http://www.who.int/entity/influenza/human_animal_interface/Influenza_Summary IRA HA interface 07 25 2017.pdf?ua=1

- Graph 1.** Influenza activity slightly increased in EW 33 from levels observed in previous weeks (influenza positivity increased slightly to 12%) with influenza A(H3N2) predominating. / La actividad de influenza aumentó en la SE 33 de los niveles observados en semanas previas (la positividad de influenza aumentó ligeramente a 12%) con predominio de influenza A(H3N2).
- Graph 2.** No RSV detections were reported in EW 33. During EW 33, influenza positivity (12%) was higher as compared to the previous season. / No se notificaron detecciones de VSR en la SE 33. Durante la SE 33, la positividad de influenza (12%) fue mayor a lo observado en la temporada previa.
- Graph 3.** During EW 32, the ARI rate slightly decreased from levels observed in previous weeks (~300 ARI cases per 100,000 inhabitants) and was at the alert threshold. / Durante la SE 32, la tasa de IRA disminuyó ligeramente de los niveles observados en semanas previas (~300 casos por 100.000 habitantes) y se ubicó en el umbral de alerta.
- Graph 4.** During EW 32, at the national-level, pneumonia activity remained at similar levels to the prior week, and remained below the seasonal threshold (1.4 per 100,000). / Durante la SE 32, a nivel nacional, la actividad de neumonía permaneció a niveles similares en relación a los niveles de la semana previa, por debajo del umbral estacional (1,4 por 100.000).
- Graph 5,6.** As of EW 34, 2017, 342 influenza-positive SARI/ILI cases were reported. Activity was slightly higher as compared to the previous week and was similar to the previous seasons, for the same period. Eleven states reported higher cumulative influenza-related SARI cases in 2017 than the 2016-2017 season: Campeche (20), Chiapas (48), Coahuila (104), Nuevo León (256), Querétaro (177), Quintana Roo (346), San Luis Potosí (75), Sonora (90), Tabasco (178), Tamaulipas (75) and Yucatan (54). / Hasta la SE 34, 2017, se reportaron 342 casos de IRAG/ETI positivos para influenza. La actividad fue ligeramente mayor en comparación con la semana previa y similar a las temporadas anteriores, para el mismo período. Once estados reportaron mayor número de casos de IRAG asociados a influenza que la temporada 2015-2016: Campeche (20), Chiapas (48), Coahuila (104), Nuevo León (256), Querétaro (177), Quintana Roo (346), San Luis Potosí (75), Sonora (90), Tabasco (178), Tamaulipas (75) y Yucatan (54)
- Graph 7.** As of EW 33, four states reported a proportion of influenza positive SARI/ILI cases above 15%: Quintana Roo (17.2%), Sonora (28.7 %), Tamaulipas (20.7%) and Tabasco (16.2%). / Hasta la SE 33, cuatro estados reportaron una proporción de casos de IRAG/ETI positivos para influenza superior a 15%: Quintana Roo (17.2%), Sonora (28.7 %), Tamaulipas (20.7%) y Tabasco (16.2%).
- Graph 8.** As of EW 34, 2017, 11 cumulative influenza-related SARI deaths were reported; activity was similar as compared to the previous week and to the levels observed in previous seasons for the same period. / Hasta la SE 34 de 2017, se notificaron 11 muertes acumuladas por IRAG asociadas a influenza; la actividad fue similar en comparación a la semana previa y a los niveles observados en temporadas previas para el mismo período.
- During EW 33, sixteen states reported higher cumulative SARI deaths associated with influenza in 2017 than during the 2016-2017 season: Aguascalientes (15), Campeche (2), Chiapas (3), Chihuahua (5), Coahuila (29), Distrito Federal (1), Durango (11), Guanajuato (7), Hidalgo (5), Nuevo León (49), Querétaro (33), Quintana Roo (4), San Luis Potosí (8), Sonora (1), Tabasco (17), and Zacatecas (2). / Durante la SE 33, dieciseis estados reportaron un número mayor de fallecidos por IRAG asociados a influenza en 2017 que durante la temporada 2015-2016: Aguascalientes (15), Campeche (2), Chiapas (3), Chihuahua (5), Coahuila (29), Distrito Federal (1), Durango (11), Guanajuato (7), Hidalgo (5), Nuevo León (49), Querétaro (33), Quintana Roo (4), San Luis Potosí (8), Sonora (1), Tabasco (17), and Zacatecas (2).

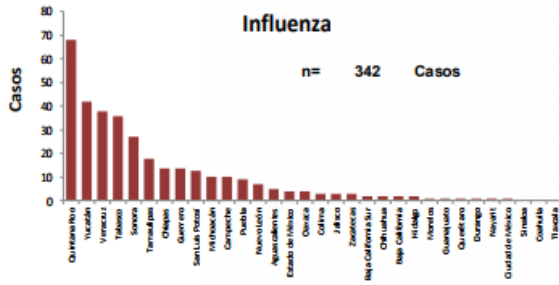
Graph 1. Mexico: Influenza virus distribution by EW 2014-17, EW 33.
Distribución de virus influenza por SE 2014-17, SE 33.



Graph 3. Mexico: ARI Endemic Channel, EW 32, 2016-17
Canal Endémico de IRA, SE 32, 2016-17



Graph 5. Mexico: SARI-flu cases by state, EW 34, 2017
Casos de IRAG positivos para influenza por estado, SE 34, 2017



Graph 7. Mexico: Flu cases and deaths by state. EW 33, 2016-2017
Proporción de casos positivos y defunciones por influenza según estado. SE 33, 2016-2017

Tabla 4. Proporción de casos positivos y defunciones por influenza según entidad federativa. México, 2017									
Entidad Federativa	Casos ETI/IRAG	Casos positivos a influenza	%*	Defunciones por influenza	Entidad Federativa	Casos ETI/IRAG	Casos positivos a influenza	%*	Defunciones por influenza
AGUASCALIENTES	164	5	3.0	0	MORELOS	150	1	0.7	0
BAJA CALIFORNIA	46	2	4.3	0	NAVARRA	48	1	2.1	0
BAJA CALIFORNIA SUR	91	2	2.2	0	NUÉVOLÉON	130	7	5.4	0
CAMPECHE	160	10	6.3	0	OACAVA	199	4	2.0	0
COAHUILA	82	0	0.0	0	PUEBLA	186	9	4.8	0
COLIMA	126	3	2.4	0	QUERÉTARO	160	1	0.6	0
CHIAPAS	308	14	4.5	1	QUINTANA ROO	396	68	17.3	2
CHIHUAHUA	130	2	1.5	0	SAN LUIS POTOSÍ	114	13	11.4	0
CIUDAD DE MÉXICO	382	1	0.3	0	SINALOA	47	0	0.0	0
DURANGO	37	1	2.7	0	SONORA	94	27	28.7	2
GUANAJUATO	46	1	2.2	0	TABASCO	222	36	16.3	2
GUERRERO	268	14	5.2	0	TAMAULIPAS	87	18	20.7	0
HIDALGO	73	2	2.7	0	TLAXCALA	174	0	0.0	0
JALISCO	189	3	1.6	1	VERACRUZ	641	38	5.9	2
ESTADO DE MÉXICO	410	4	1.0	0	YUCATÁN	417	42	10.1	1
MICHOACÁN	202	10	5.0	0	ZACATECAS	227	3	1.3	0
Total general		6,006	342	5.7					11

*% de casos positivos a influenza respecto a los casos ETI/IRAG

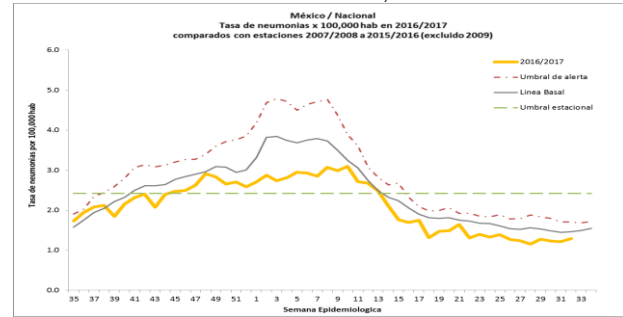
Fuente: SINAVE/DGE/Sistema de Vigilancia Epidemiológica de Influenza, acceso al 24/8/2017.

*% de casos positivos a influenza respecto a los casos de ETI/IRAG / % influenza-positive cases among ILI/SARI

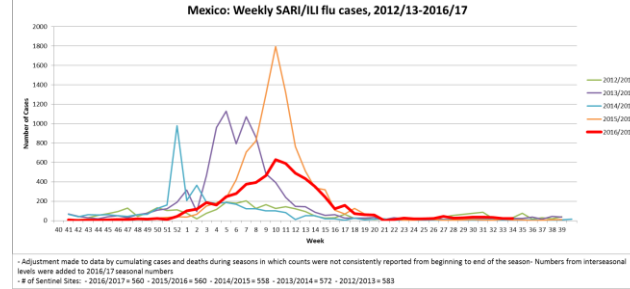
○ >10% de casos positivos / >10% positivity

○ > 15% de casos positivos / >15% positivity

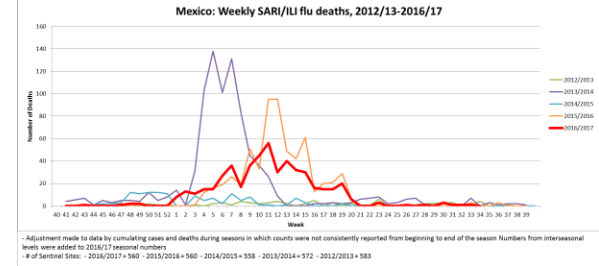
Graph 4. Mexico: Pneumonia Endemic Channel, 2016-17.EW 32.
Canal endémico de neumonía, 2016-17.SE 32.



Graph 6. Mexico: SARI/ILI-flu cases EW 34, 2012/13-2016/17
Casos de IRAG/ETI asociados a influenza SE 34, 2012/13-2016/17

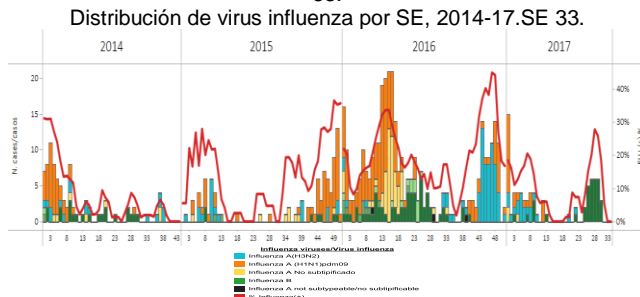
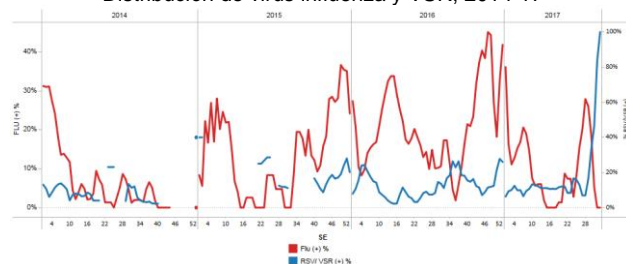


Graph 8. Mexico: SARI/ILI-flu deaths EW 34, 2012/13- 2016/17
Casos fallecidos por IRAG/ETI asociados a Influenza SE 34, 2012/13-2016/17



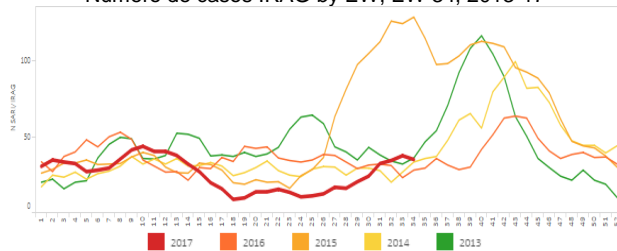
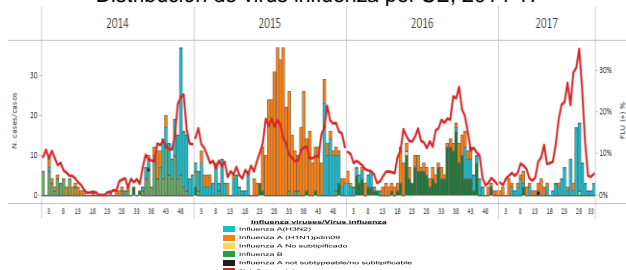
CARPHA

- Graph 1.** During EW 33, few influenza detections were reported, with influenza B predominating in recent weeks. / Durante la SE 33, se reportaron escasas detecciones de influenza, con predominio de influenza B en semanas previas.
- Graph 2.** During EW 33, the proportion of influenza positive samples slightly decreased to less than 1%, while the proportion of RSV samples increased from previous weeks. Influenza and RSV proportion were higher as compared to levels observed during the 2015-2016 season for the same period. / Durante la SE 33, la proporción de muestras positivas para influenza disminuyó a menos de 1%, mientras que la proporción de muestras de VSR aumentó respecto a las semanas previas. La proporción de influenza y VSR fueron superiores en relación a los niveles observados durante la temporada 2015-2016 para el mismo período.
- Countries that reported during EW 25 and 33 include: Barbados and Trinidad and Tobago. / Los países que reportaron entre la SE 25 y SE 33 incluyen: Barbados y Trinidad y Tobago.

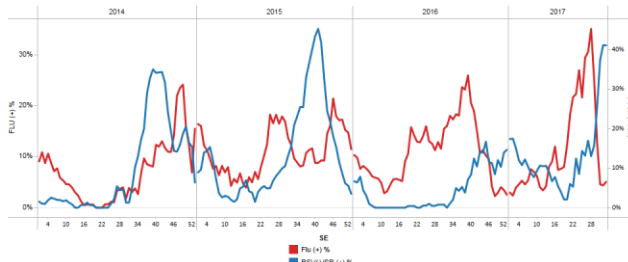
Graph 1. CARPHA. Influenza virus distribution EW, 2014-17. EW 33.**Graph 2.** CARPHA. Influenza and RSV distribution, 2014-17. Distribución de virus influenza y VSR, 2014-17

Cuba

- Graph 1.** During EW 34, the number of SARI cases slightly decreased to 20, as compared to the prior week, but was lower than the counts observed earlier in the year and is higher than levels observed during the 2016 season. / Durante la SE 34, el número de casos de IRAG disminuyó ligeramente a 20, en relación a la semana previa, si bien fue menor que los recuentos observados anteriormente en el año y es mayor a los niveles observados durante la temporada 2016.
- Graph 2.** During EW 33, influenza detections slightly increased from the prior week with percent positivity at 9%. Influenza A(H3N2) predominated in recent weeks. / Durante la SE 33, las detecciones de influenza aumentaron respecto a la semana previa con porcentaje de positividad a 9%. En semanas recientes, predominó influenza A(H3N2).
- Graph 3.** During EW 33 the proportion of influenza positive samples slightly increased (9%) while the proportion of RSV samples increased (42%) from previous weeks. Influenza and RSV proportion were higher as compared to levels observed during the 2015-2016 season for the same period. / Durante la SE 33, la proporción de muestras positivas para influenza aumentó ligeramente (9%) mientras que la proporción de muestras de VSR aumentó ligeramente (42%) respecto a las semanas previas. La proporción de influenza y VSR fueron superiores en relación a los niveles observados durante la temporada 2015-2016 para el mismo período.

Graph 1. Cuba: Number of SARI cases by EW, EW 34, 2013-17. Número de casos IRAG by EW, EW 34, 2013-17**Graph 2.** Cuba: Influenza virus distribution by EW, 2014-17. Distribución de virus influenza por SE, 2014-17

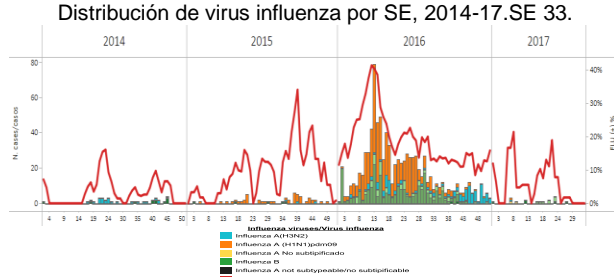
Graph 3. Cuba Influenza and RSV distribution, 2014-17
Distribución de virus influenza y VSR, 2014-17



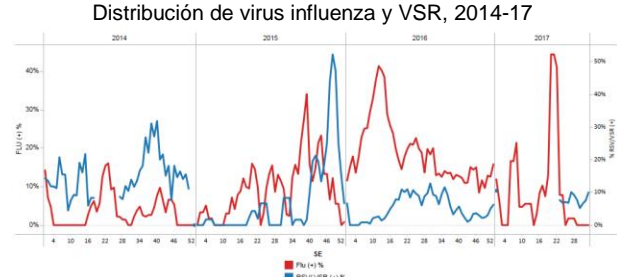
Dominican Republic / República Dominicana

- Graph 1.** During EW 33, no influenza detections were reported and influenza B predominated in recent weeks. / Durante la SE 33, no se reportaron detecciones de influenza y predominó influenza B en semanas previas.
- Graph 2.** During EW 33, low RSV activity was reported (~10% positivity). / Durante la SE 33, se reportó baja actividad de VSR (~10% de positividad).

Graph 1. Dominican Republic: Influenza virus distribution EW, 2014-17. EW 33.
Distribución de virus influenza por SE, 2014-17. SE 33.



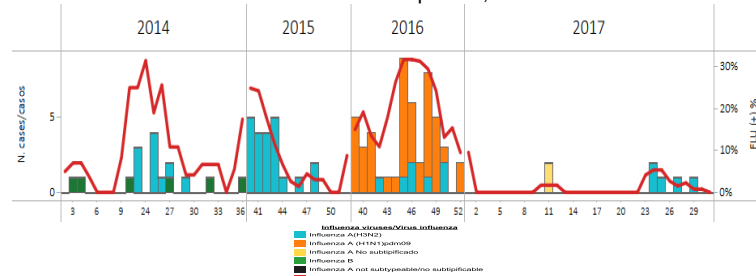
Graph 2. Dominican Republic Influenza and RSV distribution, 2014-17
Distribución de virus influenza y VSR, 2014-17



Haiti

- Graph 1.** During EW 31, few influenza detections were reported, with influenza A(H3N2) predominating. / Durante la SE 31, se reportaron escasas detecciones de influenza, con predominio de influenza A(H3N2).

Graph 1. Haiti: Influenza virus distribution EW, 2014-17. EW 31.
Distribución de virus influenza por SE, 2014-17. SE 31.



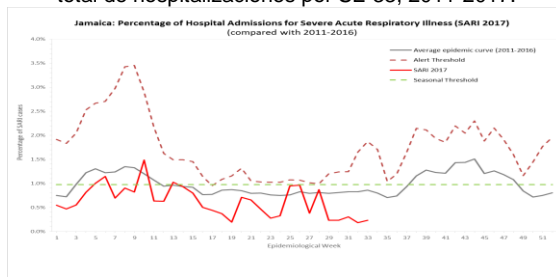
Jamaica

- Graph 1.** During EW 33, the proportion of SARI hospitalizations among all hospitalizations slightly increased below the average epidemic curve and the alert threshold as compared to previous weeks. / Durante la SE 33, la actividad de IRAG aumentó ligeramente por debajo de la curva epidémica promedio y el umbral de alerta, en relación a semanas previas.
- Graph 2.** During EW 31, the number of SARI cases slightly increased as compared to previous weeks and was lower than the previous seasons for the same period. / Durante la SE 31, el número de casos de IRAG aumentó ligeramente en relación a semanas previas y fue menor que en las temporadas previas para el mismo período.
- Graph 3.** During EW 31, pneumonia case-counts slightly increased to less than 50 cases and were below the levels observed in the prior season. / Durante la SE 31, el número de casos de neumonía aumentó ligeramente menos de 50 casos, y resultó por debajo de los niveles observados en la temporada anterior.
- Graph 4.** During EW 31, ARI cases decreased as compared to previous weeks, and was similar to levels observed in previous season for the same period. / Durante la SE 31, el número de casos de IRA disminuyó

en relación a las semanas previas, y fue similar a lo observado en temporadas previas para el mismo período.

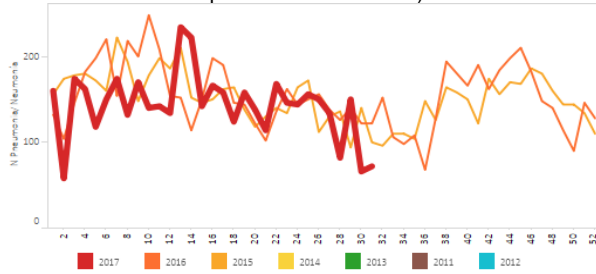
- **Graph 5.** During EW 33, few influenza detections were reported, with slightly increased activity (10% positivity) and influenza B predominating. / Durante la SE 33, se reportaron escasas detecciones de influenza, con ligera disminución de la actividad (10% de positividad) y predominio de influenza B.

Graph 1. Jamaica: % hospitalizaciones de casos IRAG entre total de hospitalizaciones por SE 33, 2011-2017.

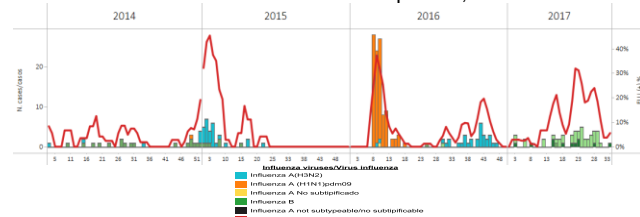


Graph 3. Jamaica: Number of pneumonia cases by EW 31, 2017 (compared to 2014-2016)

Número de casos de neumonía, hasta SE 31, 2017 (en comparación a 2014-2016)

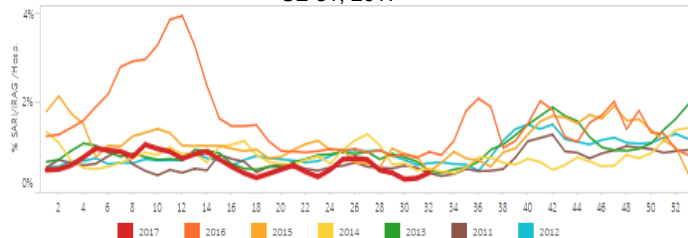


Graph 5. Jamaica: Influenza virus distribution by EW, 2014-17
Distribución de virus influenza por SE, 2014-17



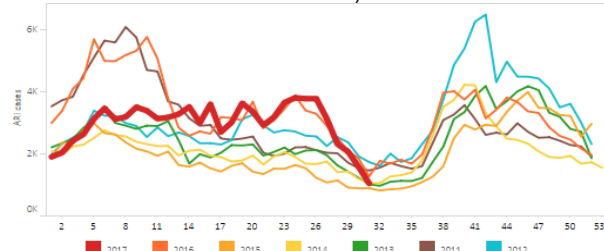
Graph 2. Jamaica: Percent of SARI cases per total hospitalizations, by EW, EW 31, 2017

Porcentaje de casos IRAG por las hospitalizaciones totales, por SE, SE 31, 2017



Graph 4. Jamaica: Number of ARI cases by EW 31, 2017 (compared to 2012-2016)

Número de casos de IRA, hasta SE 31, 2017 (en comparación a 2012-2016)

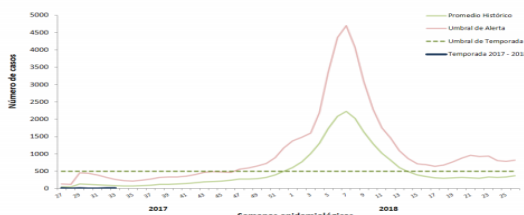


- **Graph 1,2.** Influenza detections remained below the seasonal threshold in recent weeks, with increased detections during EW 33. Influenza A(H3N2) and influenza B co-circulated. / Las detecciones de influenza permanecieron por debajo del umbral estacional en semanas previas, con aumento de detecciones durante la SE 33. Co-circularon influenza A(H3N2) e influenza B.

- **Graph 3.** During EW 33, ILI activity⁵ continued to decrease, as compared to the previous week, and remained below the average epidemic curve. / Durante la SE 33, la actividad de ETI continuó en disminución, en comparación con la semana previa, y permaneció por debajo de la curva epidémica promedio.

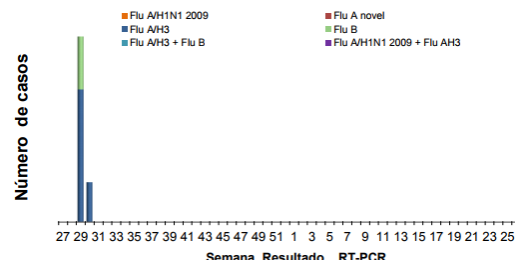
Graph 1. Puerto Rico: Influenza-positive cases by EW 33, 2016-17
Casos positivos a influenza SE 33, 2016-17

Temporada 2017 - 2018 en comparación con el promedio histórico, umbral de temporada y umbral de alerta, Puerto Rico



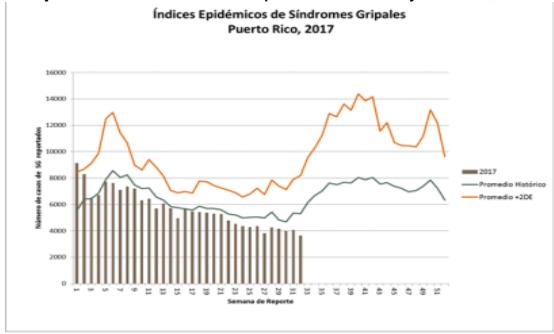
Graph 2. Puerto Rico: PCR influenza-positive results by subtype by EW, 2016-2017.EW 33.

GRÁFICA 5. Resultados de RT-PCR por semana de resultado Puerto Rico, Temporada 2016 - 2017



⁵ Report available at: <http://www.cdc.gov/flu/weekly/index.htm>

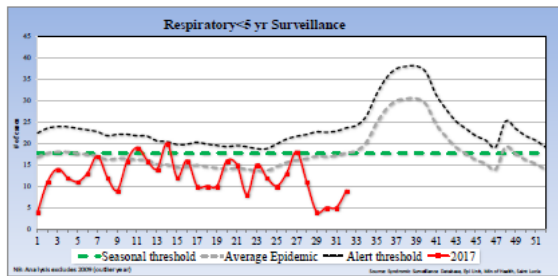
Graph 3. Puerto Rico: ILI epidemic rates by EW 33, 2017



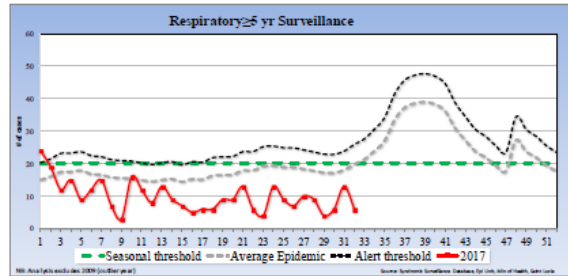
Saint Lucia

- Graph 1.** During EW 32, the number of cases with respiratory symptoms among children under 5 years of age slightly increased and remained below the seasonal threshold. The highest incidence rates were reported in Anse La Raye and Gros Islet. / Durante la SE 32, el número de casos con síntomas respiratorios en niños menores de 5 años de edad aumentó ligeramente y permaneció por debajo del umbral estacional. Las tasas de incidencia más elevadas fueron reportadas en Anse La Raye y Gros Islet.
- Graph 2,3.** The number of cases of fever and respiratory symptoms among 5 years-of-age and older slightly decreased but remained below the alert threshold and the average epidemic curve during EW 32. Most of the cases were notified in Gros Islet and Babonneau. / El número de casos de fiebre y síntomas en el grupo de 5 años y mayores disminuyó ligeramente si bien permaneció debajo del umbral de alerta y la curva epidémica promedio durante la SE 32. La mayoría de los casos fueron detectados en Gros Islet y Babonneau.
- Graph 4.** In EW 32, SARI activity slightly increased as compared to the previous week, representing 5.2% of total hospitalizations. SARI admissions were below the levels observed for 2014-2016. / En la SE 32, la actividad de IRAG disminuyó ligeramente en comparación a la semana anterior, representando 5,2% del total de hospitalizaciones. Las admisiones por IRAG fueron bajas en relación a los niveles observados para 2014-2016.

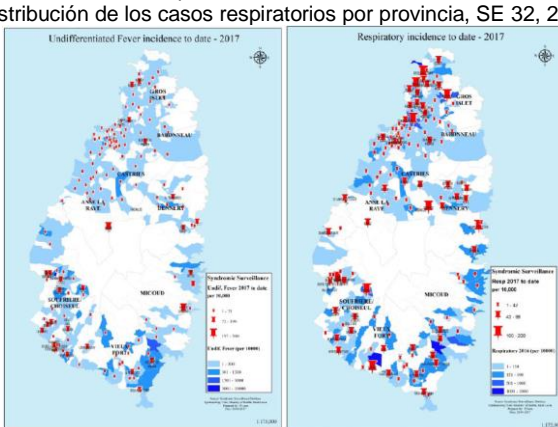
Graph 1. Saint. Lucia: Total number of cases for respiratory symptoms<5, EW 32, 2017
Total numero de los casos de las simptomas de respiratorio<5, SE 32, 2017



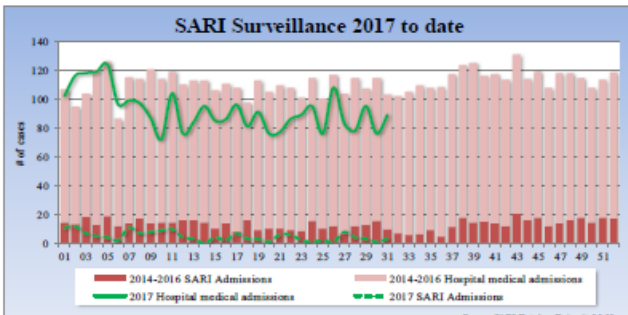
Graph 2. Saint. Lucia: Total number of cases for fever and respiratory symptoms, EW 32, 2017
Total numero de los casos de las simptomas de fiebre y respiratorio, SE 32, 2017



Graph 3. Saint. Lucia: Distribution of respiratory cases by province, EW 32, 2017
Distribución de los casos respiratorios por provincia, SE 32, 2017



Graph 4. Saint. Lucia: El número y porcentaje de los casos IRAG, SE 31, 2017



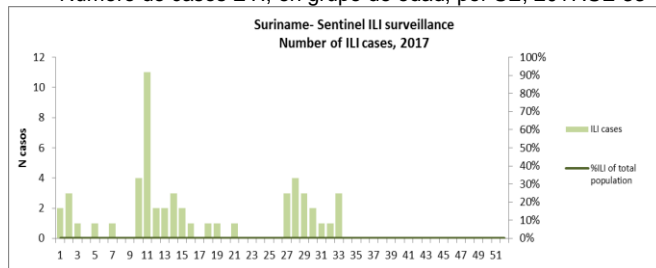
Suriname

- Graph 1,2.** During EW 35, SARI-related hospitalizations decreased, as compared to the previous weeks and were lower than the previous season for the same period. As of EW 33, few ILI cases were reported, with low

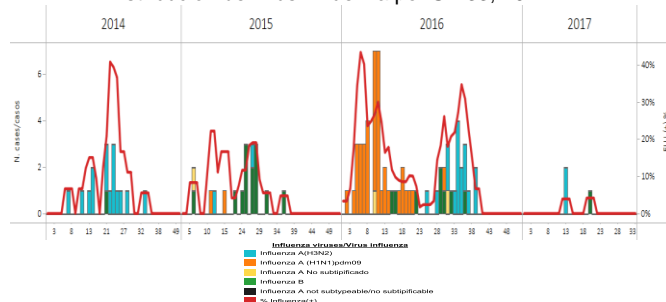
activity in recent weeks. / Durante la SE 35, las hospitalizaciones asociadas a IRAG disminuyeron, en relación a las semanas previas y estuvieron bajos que en temporadas previas para el mismo período. Hasta la SE 33, contados casos de ETI se han reportado, con baja actividad en semanas recientes.

- **Graph 3.** During EW 33, no influenza activity was reported, with influenza B predominating in recent weeks. / Durante la SE 33, no se reportó actividad de influenza, con predominio de influenza B en semanas recientes.
- **Graph 4.** During EW 33, no influenza activity was reported and RSV positivity slightly decreased as compared to the previous season. / Durante la SE 33, no se reportó actividad de influenza y la positividad de VSR disminuyó ligeramente en comparación a la temporada anterior.

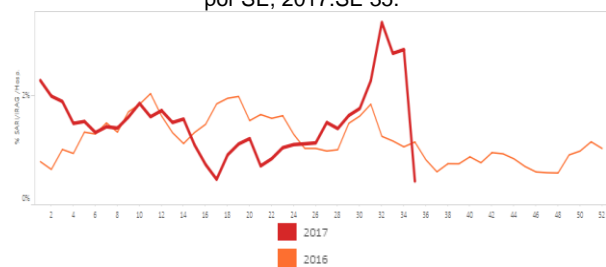
Graph 1. Suriname: Number of ILI cases, by age, by EW, 2017.EW 33
Número de casos ETI, en grupo de edad, por SE, 2017.SE 33



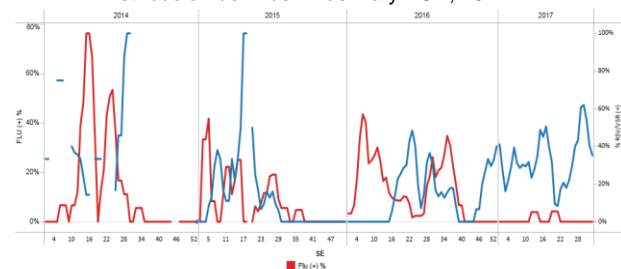
Graph 3. Suriname: Influenza virus distribution by EW 33, 2014-17
Distribución de virus influenza por SE 33, 2014-17



Graph 2. Suriname: % SARI hospitalizations among all causes, by EW, 2017.EW 35.
Casos % de hospitalizaciones IRAG entre todas las causas, por SE, 2017.SE 35.

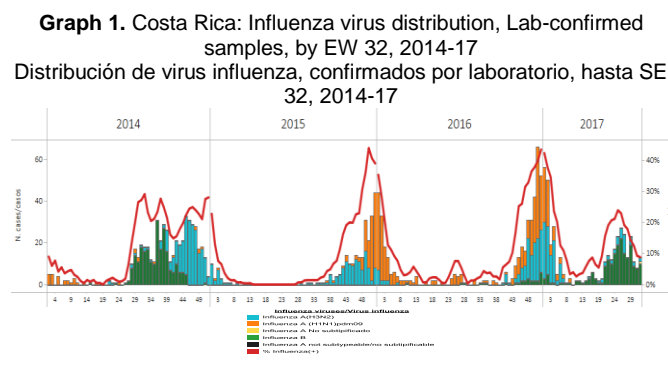


Graph 4. Suriname: Influenza and RSV distribution, 2014-17
Distribución de virus influenza y VSR, 2014-17



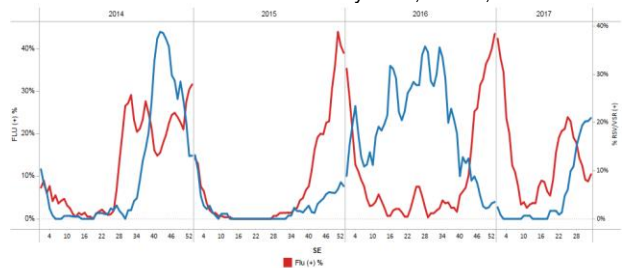
Costa Rica

- Graph 1.** During EW 32, influenza activity slightly decreased with a lower percent positivity (10%) than the previous week with influenza B predominating. / Durante la SE 32, la actividad de influenza disminuyó ligeramente con un porcentaje de positividad (10%) más bajo que en semanas previas con predominio de influenza B.
- Graph 2.** During EW 32, influenza percent positivity slightly decreased and RSV percent positivity increased from levels observed in previous weeks. / Durante la SE 32, el porcentaje de positividad de influenza disminuyó ligeramente y el porcentaje de positividad de VSR aumentó en relación a los niveles de semanas previas.
- Graph 3.** During EW 31, the proportion of SARI-associated deaths (12.5%) and the proportion of SARI-associated hospitalizations (5%) slightly increased from recent weeks; while ICU admissions (5%) decreased from previous weeks. / Durante la SE 31, la proporción de fallecidos asociados a IRAG (12.5%) y la proporción de hospitalizaciones asociadas a IRAG (5%) aumentaron ligeramente en relación a semanas previas; en tanto, las admisiones a UCI (5%) disminuyeron respecto a semanas previas.



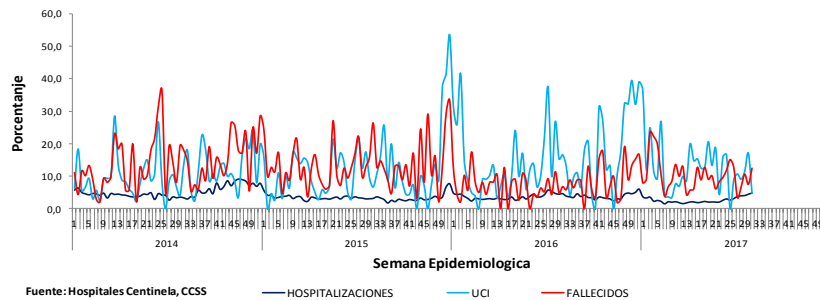
Graph 2. Costa Rica: Influenza and RSV distribution, EW 32, 2015-17

Distribución de virus influenza y VSR, SE 32, 2015-17



Graph 3. Costa Rica: Number of Hospitalizations, ICU admissions, Deaths, SE 31, 2014-2017

IRAG (%): Hospitalizaciones, admisiones a UCI y fallecidos.
Hospitales Centinela, CESS. Costa Rica,
CCSS, SE N°31. Año 2014 - 2017.

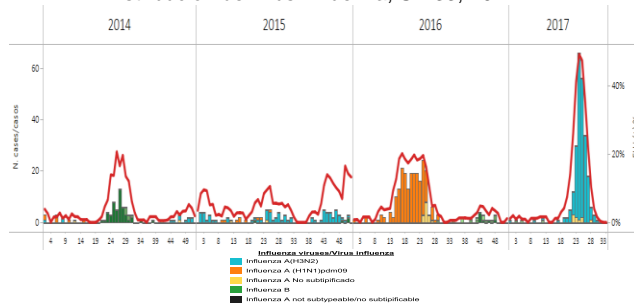


El Salvador

- Graph 1.** During EW 33 and in recent weeks, decreasing influenza activity was reported (less than 2% positivity in EW 33), with influenza A(H3N2) predominating. / Durante la SE 33 y en semanas previas, se ha reportado una disminución de la actividad de influenza (menor a 2% de positividad en la SE 33), con predominio de influenza A(H3N2).
- Graph 2.** As of EW 33, RSV positivity slightly decreased and was higher than levels observed in the previous season; influenza positivity was lower than levels observed during the 2015-2016 season for the same period. / En la SE 33, la positividad de VSR disminuyó ligeramente y fue superior a los niveles observados en la temporada previa; la positividad de influenza fue menor a los niveles observados durante la temporada 2015-2016, para el mismo período.
- Graph 3.** During EW 33, SARI case counts reported to slightly decreased from the previous weeks and continued above the alert threshold and the average epidemic curve. / Durante la SE 33, el número de casos de IRAG se reportó en ligera disminución en relación a las semanas previas y continuó sobre el umbral de alerta y la curva epidémica promedio.

- Graph 4.** During EW 33, pneumonia case counts slightly decreased as compared to recent weeks, and was higher than 2016 season for the same period. / Durante la SE 33, el recuento de casos de neumonía disminuyó ligeramente en comparación a semanas recientes, y fue superior a la temporada 2016 para el mismo período.
- During EW 33, 2017, higher pneumonia cumulative rates (480 cases per 100,000 population) were reported as compared to the rates observed in 2016 season, for EW 33 (431). The highest rates were reported in 3 departments: San Miguel (960), La Union (871), and Usulután (787). / Durante la SE 33 de 2017, se reportaron mayores tasas acumuladas de neumonía (480 casos por 100.000 habitantes) en comparación a las tasas observadas en la temporada 2016, par la SE 33 (431). Las tasas más elevadas se reportaron en 3 departamentos: San Miguel (960), La Union (871), y Usulután (787).
- Graph 5.** During EW 33, SARI case counts from sentinel sites slithgly decreased from the previous weeks and remained above the alert threshold. / Durante la SE 33, el recuento de casos de IRAG de sitios centinela disminuyó ligeramente en relación a las semanas previas y permaneció sobre el umbral de alerta.
- During EW 33, 2017, higher ARI cumulative rates (680 cases per 100,000 population) were reported as compared to the rates observed in EW 32 (651). As of EW 33, 2017, higher cumulative ARI rates were reported (21,889 cases per 100,000 population), as compared levels notified during 2016 season for the same period (20,802 cases per 100,000 population). The highest rates were reported in 3 departments: Chalatenango (29,306), San Salvador (28,330) and Usulután (23,248). / Durante la SE 33 de 2017, se reportaron mayores tasas acumuladas de IRA (680 casos por 100.000 habitantes) en comparación a las tasas observadas en la SE 32 (651). Hasta la SE 33 de 2017, se reportaron tasas acumuladas de IRA más elevadas (21.889 casos por 100.000 habitantes), en relación a los niveles notificados durante la temporada 2016 para el mismo período (20.802 casos por 100.000 habitantes). Las tasas más elevadas se reportaron en 3 departamentos: Chalatenango (29.306), San Salvador (28.330) y Usulutan (23.248).
- Graph 6.** During EW 33, the percent positivity for influenza reported to decrease from previous weeks and was below the alert threshold and at the average epidemic curve. / Durante la SE 33, el porcentaje de positividad para influenza se reportó en disminución respecto a las semanas previas y se ubicó por debajo del umbral de alerta y en la curva epidémica promedio.

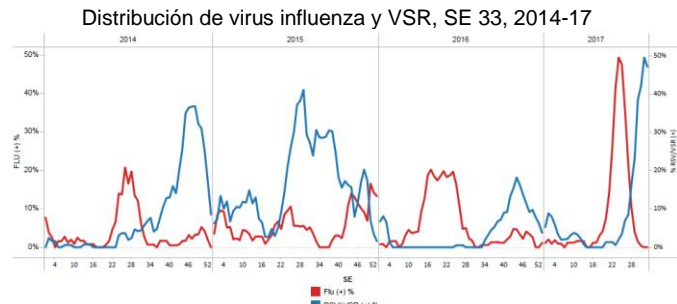
Graph 1. El Salvador: Influenza virus distribution, EW 33, 2014-17
Distribución de virus influenza, SE 33, 2014-17



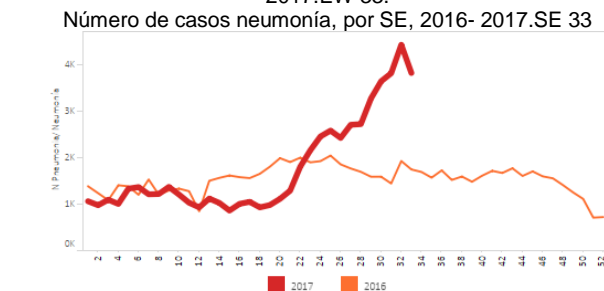
Graph 3. El Salvador: SARI hospitalizations, by EW, 2016-2017.EW 33.



Graph 2. El Salvador: Influenza and RSV distribution, EW 33, 2014-17
Distribución de virus influenza y VSR, SE 33, 2014-17



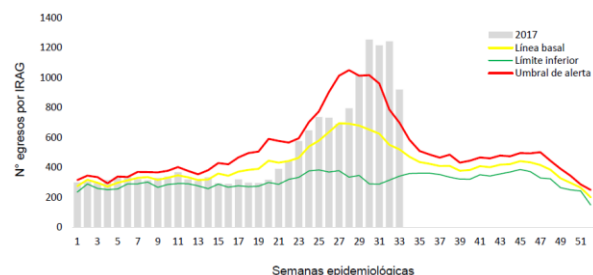
Graph 4. El Salvador: Number of pneumonia cases, by EW, 2016-2017.EW 33.



Graph 5. El Salvador: SARI cases endemic channel, EW 33, 2017.

Corredor endémico de casos IRAG, SE 33, 2017

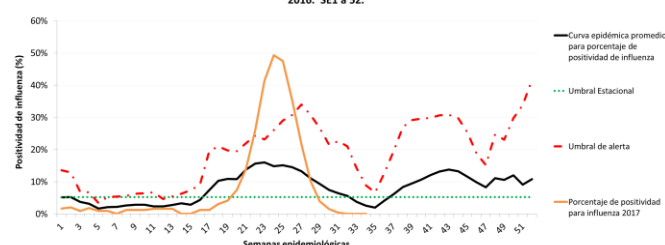
Gráfico 3.- Corredor endémico de casos de infección respiratoria aguda grave (IRAG) egresados por semana, Ministerio de Salud, El Salvador, Semana 33 - 2017



Graph 6. El Salvador: Baseline for the percent positivity for influenza, 2017 (in comparison to 2010-2016).

Línea basal para el porcentaje de positividad de influenza, 2017 (en comparación a 2010-2016)

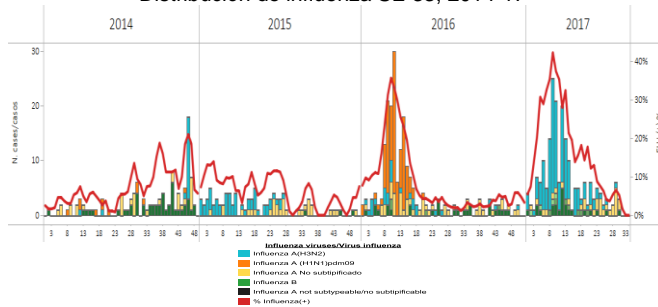
Porcentaje de positividad para El Salvador durante 2017, en comparación al período 2010-2016. SE1 a 52.



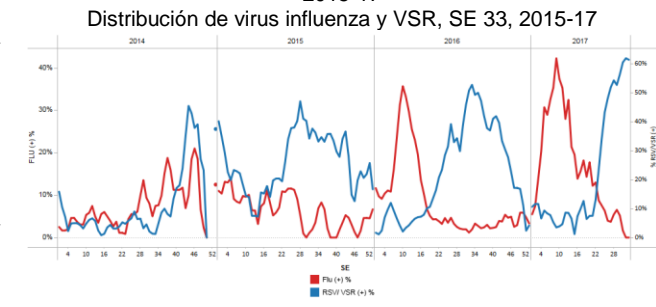
Guatemala

- **Graph 1.** During EW 33, influenza detections decreased with influenza positivity less than 5% and with influenza B and A(H3N2) co-circulating in recent weeks. / Durante la SE 33, las detecciones de influenza disminuyeron con positividad de influenza menor a 5% y con co-circulación de influenza B y A(H3N2) en semanas recientes.
- **Graph 2.** During EW 33, influenza positivity decreased to <1% and RSV positivity increased from levels in previous weeks; the influenza proportion was similar to previously reported levels from 2015-2016 season for the same period. / Durante la SE 33, la positividad de influenza disminuyó a <1% y la positividad de VSR aumentó en relación a los niveles de semanas previas; la proporción de influenza fue similar a los niveles reportados de la temporada 2015-2016, para el mismo período.
- **Graph 3.** During EW 33, 2017 the percent of SARI hospitalizations increased from previous weeks.
- **Graph 4.** During EW 33, 2017 the percent of ILI cases among all consultations decreased as compared to previous weeks.
- **Graph 5.** During EW 33, the percent positivity for influenza reported to slightly decrease from previous weeks below the average epidemic curve and the alert threshold. / Durante la SE 33, el porcentaje de positividad para influenza se reportó en ligero descenso respecto a las semanas previas debajo de la curva epidémica promedio y el umbral de alerta.

Graph 1. Guatemala. Influenza virus distribution EW 33, 2014-17
Distribución de influenza SE 33, 2014-17



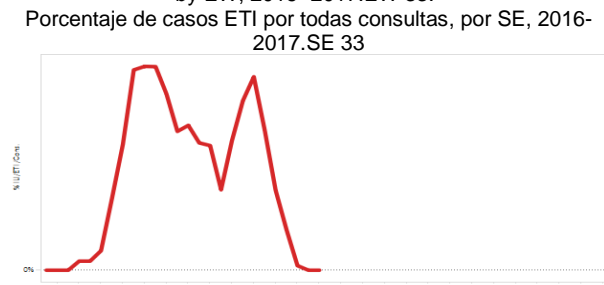
Graph 2. Guatemala: Influenza and RSV distribution, EW 33, 2015-17
Distribución de virus influenza y VSR, SE 33, 2015-17



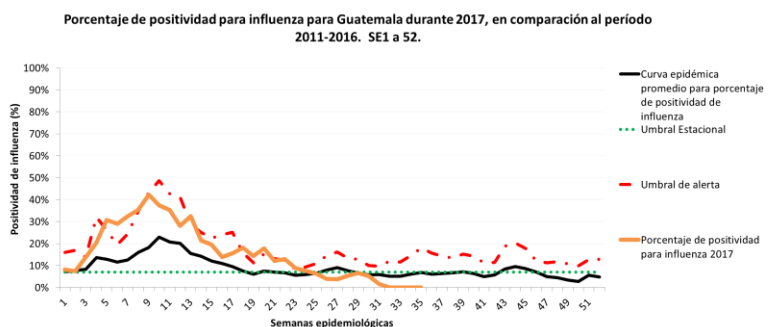
Graph 3. Guatemala: Percent of SARI hospitalizations, by EW, 2016- 2017.EW 33.
Porcentaje de hospitalizaciones IRAG, por SE, 2016- 2017.SE 33



Graph 3. Guatemala: Percent of ILI cases per total consultations, by EW, 2016- 2017.EW 33.
Porcentaje de casos ETI por todas consultas, por SE, 2016- 2017.SE 33



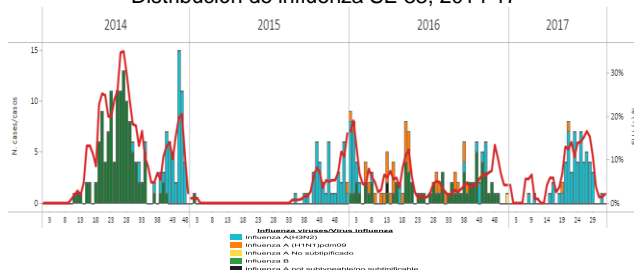
Graph 5. Guatemala : Baseline for the percent positivity for influenza, 2017 (in comparision to 2010-2016)
 Linea basal para el porcentaje de positividad de influenza, 2017 (en comparación a 2010-2016)



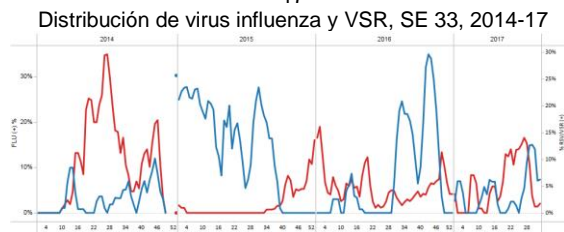
Honduras

- Graph 1.** During EW 33, slightly increased influenza activity was reported; influenza A(H3N2) predominated in recent weeks. / Durante la SE 33, se reportó un ligero aumento de la actividad de influenza; predominó influenza A(H3N2) en semanas recientes.
- Graph 2.** As of EW 33, influenza percent positivity and RSV positivity slightly increased to less than 5%; the percent positivity was higher than levels observed during 2016 for the same period./ Durante la SE 33 la positividad de influenza y la positividad de VSR aumentaron ligeramente a menos de 5%; el porcentaje de positividad fue superior a los niveles observados durante 2016 para el mismo período.
- Graph 3.** During EW 33, the percent positivity for influenza reported to decrease from previous weeks and was below the alert threshold and the average epidemic curve. / Durante la SE 33, el porcentaje de positividad para influenza se reportó en disminución respecto a las semanas previas y se ubicó por debajo del umbral de alerta y la curva epidémica promedio.

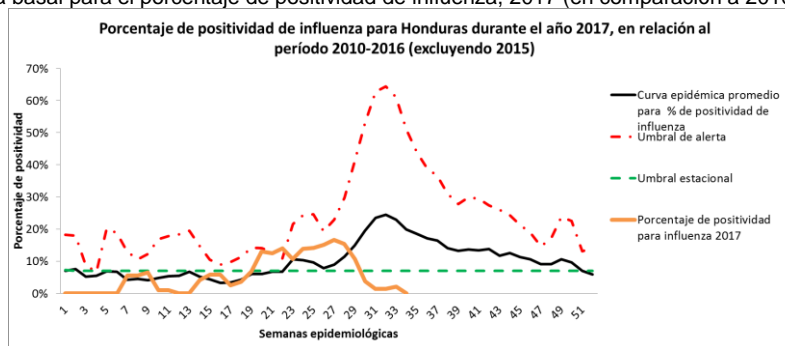
Graph 1. Honduras. Influenza virus distribution EW 33, 2014-17
 Distribución de influenza SE 33, 2014-17



Graph 2. Honduras: Influenza and RSV distribution, EW 33, 2014-17
 Distribución de virus influenza y VSR, SE 33, 2014-17



Graph 3. Honduras : Baseline for the percent positivity for influenza, 2017 (in comparision to 2010-2016)
 Linea basal para el porcentaje de positividad de influenza, 2017 (en comparación a 2010-2016)



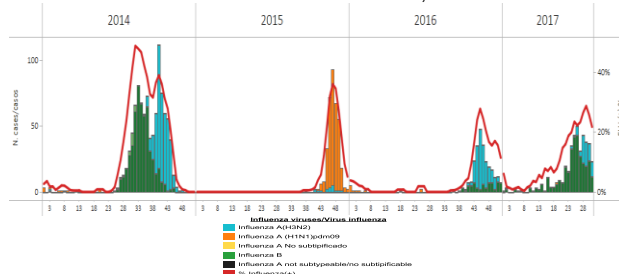
Nicaragua

- Graph 1.** During EW 31, influenza activity slightly decreased (20% positivity), with influenza B predominating. / Durante la SE 31, la actividad de influenza disminuyó ligeramente (20% de positividad) con predominio de influenza B.
- Graph 2.** As of EW 31, influenza positivity slightly decreased in comparison to previous weeks, and was higher than the 2015-2016 season for the same period. / Durante la SE 31, la positividad de influenza disminuyó ligeramente, en comparación a las semanas previas, y se ubicó por encima de los niveles registrados en la temporada 2015-2016 para el mismo período.
- During EW 33, 2017, higher ARI cumulative rates (2040.54 cases per 100,000 population) were reported as compared to the rates observed during 2016 season for the same period (1798.43 cases per 100,000).

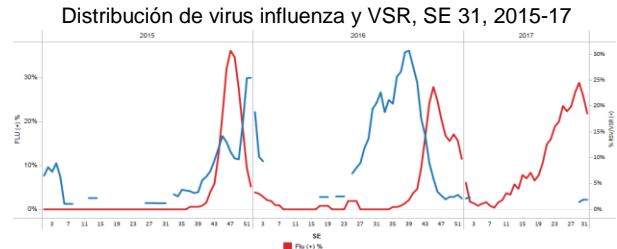
population). ⁶ / Durante la SE 33 de 2017, se reportaron mayores tasas acumuladas de IRA (2040,54 casos por 100.000 habitantes) en comparación a las tasas observadas durante la temporada 2016 para el mismo período (1798,43 casos por 100.000 habitantes).

- During EW 33, 2017, higher pneumonia cumulative rates (161.89 cases per 100,000 population) were reported as compared to the rates observed during 2016 season for the same period (153.94 cases per 100,000 population). / Durante la SE 33 de 2017, se reportaron mayores tasas acumuladas de neumonía (161,89 casos por 100.000 habitantes) en comparación a las tasas observadas durante la temporada 2016 para el mismo período (153,94 casos por 100.000 habitantes).

Graph 1. Nicaragua. Influenza virus distribution EW 31, 2014-17
Distribución de influenza SE 31, 2014-17



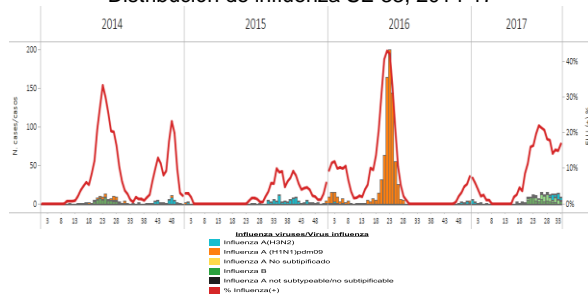
Graph 2. Nicaragua: Influenza and RSV distribution, EW 31, 2015-17
Distribución de virus influenza y VSR, SE 31, 2015-17



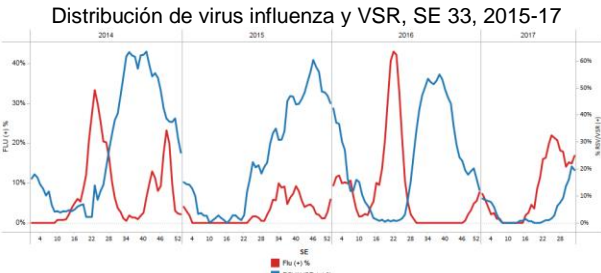
Panama

- **Graph 1.** During EW 33, few influenza detections were reported, with an increasing percent positivity. / Durante la SE 33, se han reportado pocas detecciones de influenza con un porcentaje de positividad en ascenso.
- **Graph 2.** During EW 33, influenza positivity slightly increased to 15% and RSV positivity remained lower than levels observed during the 2015-2016 season for the same period / Durante la SE 33, la positividad de influenza disminuyó ligeramente a 15% y la positividad de VSR permaneció por debajo de los niveles observados durante la temporada 2015-2016 para el mismo período.
- **Graph 3.** During EW 34, the percent positivity for influenza slightly increased from previous weeks and was above the alert threshold and above the average epidemic curve. / Durante la SE 33, el porcentaje de positividad para influenza se reportó en ligero aumento respecto a las semanas previas y se ubicó sobre el umbral de alerta y sobre la curva epidémica promedio.

Graph 1. Panama. Influenza virus distribution EW 33, 2014-17
Distribución de influenza SE 33, 2014-17

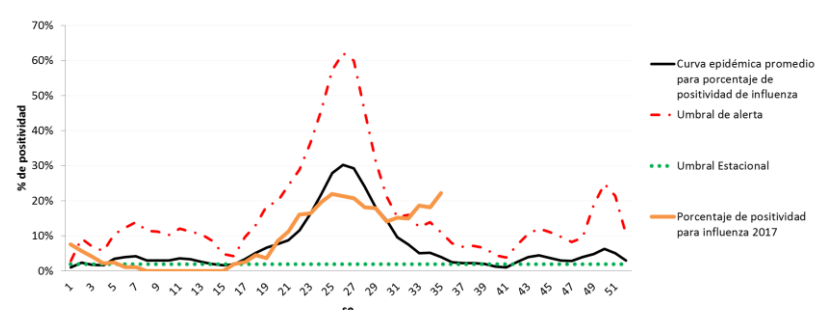


Graph 2. Panama: Influenza and RSV distribution, EW 33, 2015-17
Distribución de virus influenza y VSR, SE 33, 2015-17



Graph 3. Panama : Baseline for the percent positivity for influenza, 2017 (in comparison to 2010-2016)
Línea basal para el porcentaje de positividad de influenza, 2017 (en comparación a 2010-2016)

Porcentaje de positividad para influenza en 2017 (en relación al período 2010-2016) Panamá

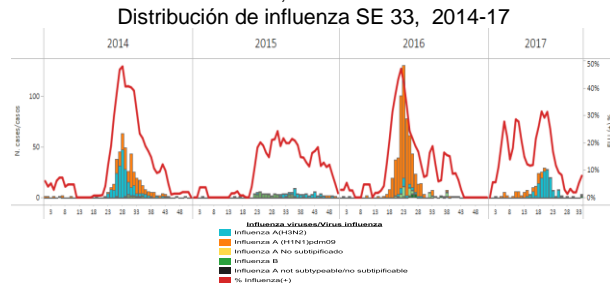


⁶ Weekly report available [here](#)

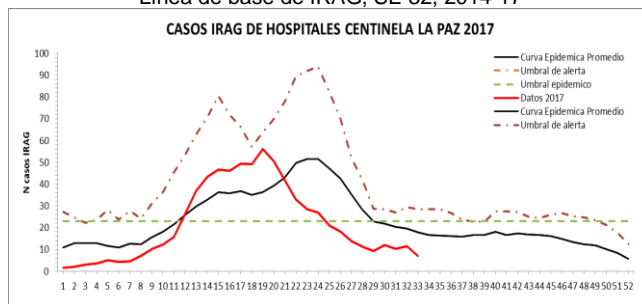
Bolivia

- Graph 1.** During EW 33, in La Paz, slightly increased influenza activity was reported (~10%), with few detections and influenza A(H3N2) predominating. / Durante la SE 33, en La Paz, se ha reportado actividad ligeramente aumentada de influenza (~10%), con escasas detecciones y predominio de influenza A(H3N2).
- Graph 2.** As of EW 33, the percent positivity for influenza and for RSV were lower than the previous season for the same period./ Durante la SE 33, el porcentaje de positividad para influenza y para VSR fue menor que el registrado en la temporada previa para el mismo período.
- Graph 3.** As of EW 33, the number of SARI cases was reported to be below the alert threshold and the average epidemic curve for this season. / Durante la SE 33, el número de casos de IRAG se reportó por debajo del umbral de alerta y de la curva epidémica promedio para esta temporada.
- Graph 4.** As of EW 33, in Santa Cruz, influenza activity slightly decreased with influenza B predominating. / Durante la SE 33, en Santa Cruz, la actividad de influenza aumentó ligeramente con predominio de influenza B.
- Graph 5.** As of EW 33, in Santa Cruz, influenza positivity decreased to 1% from previous weeks. / Durante la SE 33, en Santa Cruz, la positividad de influenza disminuyó a 1% en relación a semanas previas.
- Graph 6.** During EW 33, in Santa Cruz, SARI cases decreased from previous weeks and were below the seasonal threshold./ Durante la SE 33, en Santa Cruz, los casos de IRAG disminuyeron en relación a las semanas previas por debajo del umbral estacional.

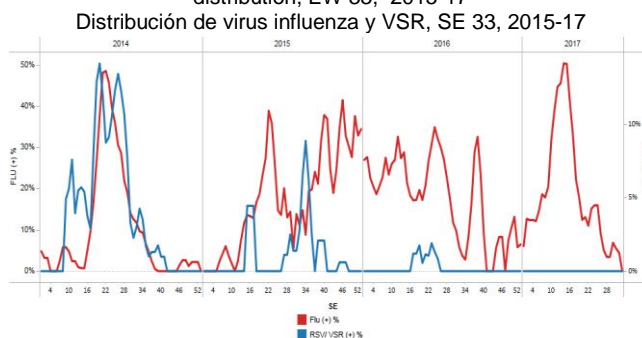
Graph 1. Bolivia INLASA (La Paz). Influenza virus distribution EW 33, 2014-17



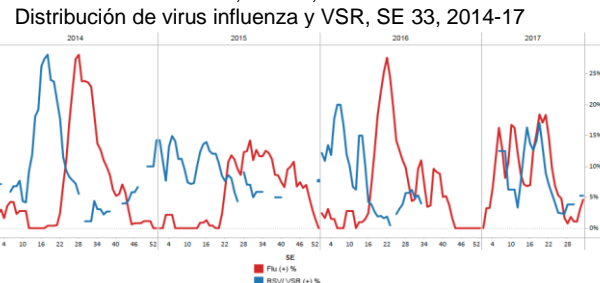
Graph 3. Bolivia INLASA (La Paz): SARI baseline, EW 32, 2014-17
Línea de base de IRAG, SE 32, 2014-17



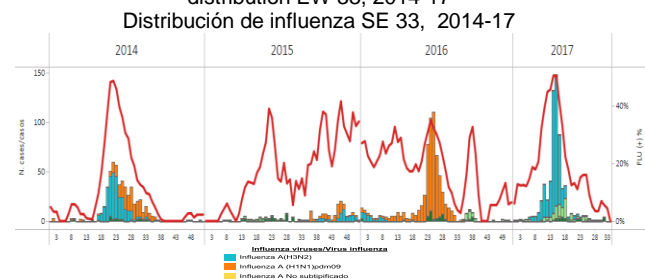
Graph 5. Bolivia CENETROP (Santa Cruz): Influenza and RSV distribution, EW 33, 2015-17



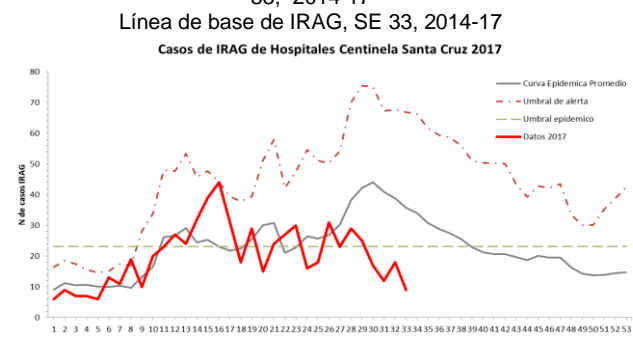
Graph 2. Bolivia INLASA (La Paz): Influenza and RSV distribution, EW 33, 2014-17



Graph 4. Bolivia CENETROP (Santa Cruz). Influenza virus distribution EW 33, 2014-17
Distribución de influenza SE 33, 2014-17



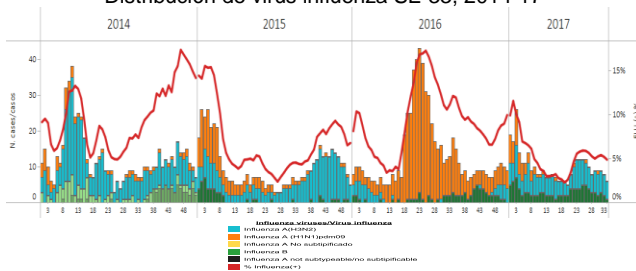
Graph 6. Bolivia CENETROP (Santa Cruz): SARI baseline, EW 33, 2014-17



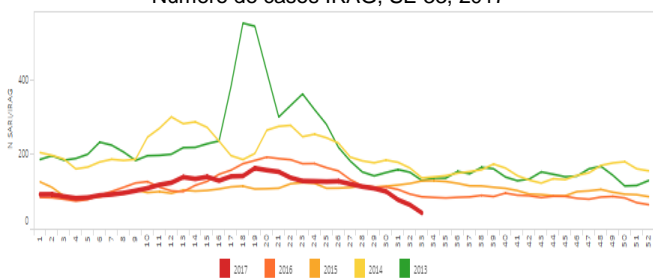
Colombia

- Graph 1.** During EW 33, influenza activity slightly decreased to 5% positivity, with co-circulation of influenza A(H3N2) and B / Durante la SE 33, la actividad de influenza disminuyó ligeramente a 5% de positividad, con co-circulación de influenza A(H3N2) y B.
- Graph 2.** As of EW 33, RSV positivity and influenza positivity remained at similar levels as compared to previous weeks. Influenza and RSV counts were lower than levels observed during the 2015-2016 season. / En la SE 33, la positividad de VSR y la positividad de influenza permanecieron a niveles similares de las semanas previas. Los recuentos de influenza y VSR fueron menores que los niveles observados durante el período 2015-2016.
- Graph 3.** During EW 33, SARI/ILI activity decreased as compared to prior weeks and was below the levels observed in 2016 for the same period. / Durante la SE 33, la actividad de ETI/IRAG disminuyó en comparación a las semanas previas y se ubicó por debajo de los niveles observados en 2016 para el mismo período.
- Graph 4.** During EW 33, counts of pneumonia cases slightly decreased and were within levels observed in prior years. / Durante la SE 33, los casos de neumonía disminuyeron ligeramente y fueron similares a los observados en años previos.
- Graph 5.** As of EW 33, the ARI rate slightly decreased as compared to previous weeks, and was similar to those observed in previous years (2015-2016). / En la SE 33, la tasa de IRA disminuyó ligeramente en comparación a las semanas previas, y fue similar a los niveles observados en años previos (2015-2016).
- Graph 6.** During EW 33, ARI mortality rates in children under 5 years of age was 6.6 per 100,000 children under 5; three states reported the highest rates: Vichada (86.7), Guainía (75.5), and Chocó (27.6). / En la SE 33, la mortalidad por IRA en niños menores de 5 años fue 6.6 por cada 100.000 menores de 5 años de edad; tres estados reportaron las tasas más elevadas: Vichada (86.7), Guainía (75.5), y Chocó (27.6).
- Graph 7.** As of EW 33⁷, the ARI-related deaths reported among children under 5 years of age (n=10) were similar to those observed in previous weeks and 289 ARI-related cumulative deaths were reported in children under 5 during 2017. During EW 33, the highest ARI-related deaths were reported in North of Santander and Valle del Cauca. / En la SE 33, las muertes asociadas a IRA en niños menores de 5 años (n=10) fueron similares a las observadas en semanas previas y un total de 289 muertes asociadas a IRA fueron notificadas en niños menores de 5 en 2017. Durante la SE 33 las tasas más elevadas de muertes asociadas a IRA en relación a las temporadas previas fueron reportadas en el norte de Santander y Valle del Cauca.

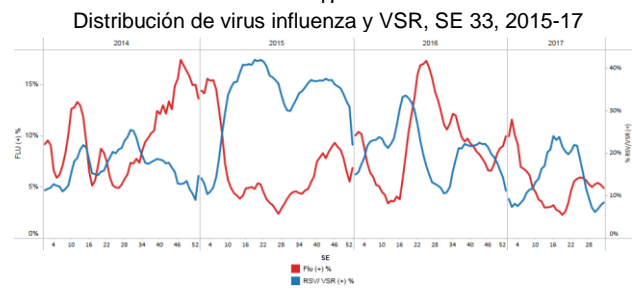
Graph 1. Colombia. Influenza virus distribution EW 33, 2014-17
Distribución de virus influenza SE 33, 2014-17



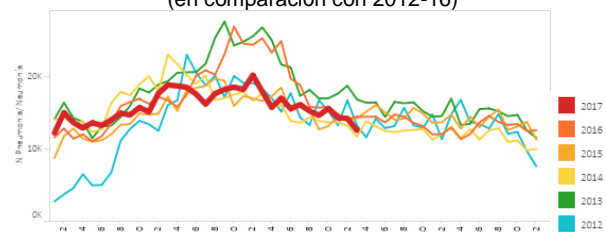
Graph 3. Colombia: Number of SARI cases, EW 33, 2017
Número de casos IRAG, SE 33, 2017



Graph 2. Colombia: Influenza and RSV distribution, EW 33, 2015-17
Distribución de virus influenza y VSR, SE 33, 2015-17

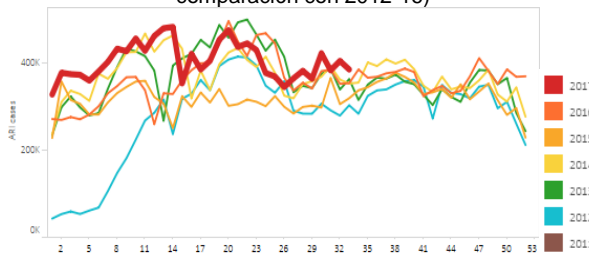


Graph 4. Colombia: Number of pneumonia-related hospitalizations, by EW 33, 2017 (in comparison with 2012-16)
Número de hospitalización asociado a neumonía, por SE 33, 2017 (en comparación con 2012-16)

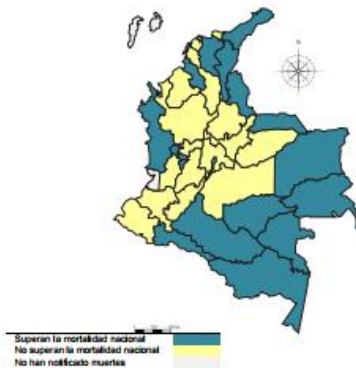


⁷ Report available at: <http://www.ins.gov.co/boletin-epidemiologico/Paginas/default.aspx>

Graph 5. Colombia: Number of ARI cases (from all consultations), by EW 33, 2017 (in comparison with 2012-16)
Número de los casos IRA (de todas consultas), por SE 33, 2017 (en comparación con 2012-16)

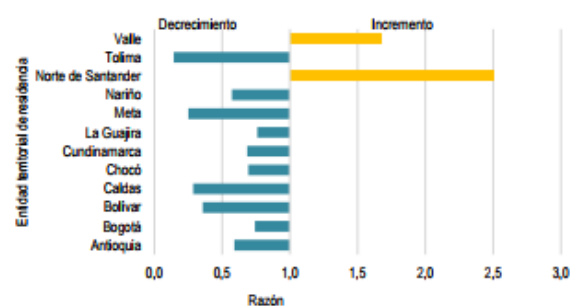


Graph 6. Colombia: ARI-related deaths rates in children under 5 years of age, by EW 33, 2017
Mortalidad por IRA en niños menores de 5 años, por SE 33, 2017.
Mortalidad por infección respiratoria aguda grave en menores de cinco años, Colombia, semanas epidemiológicas 01-33, 2017



Graph 7. Colombia: ARI-related deaths reported among children under 5 years of age by territorial entity, EW 33, 2017, as compared to 2014-2016.

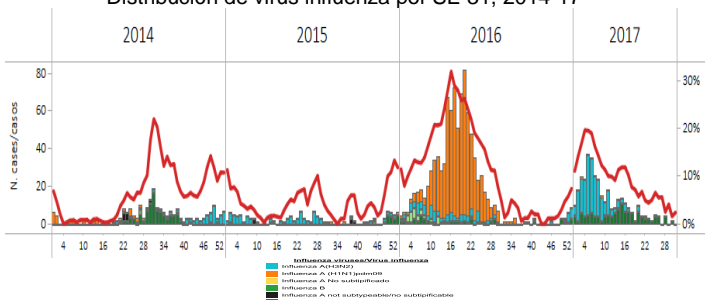
Comparación de la notificación de muertes por infección respiratoria aguda grave en menores de cinco años por entidad territorial de residencia a semana epidemiológica 33 de 2017 con su comportamiento histórico, Colombia, 2014-2016.



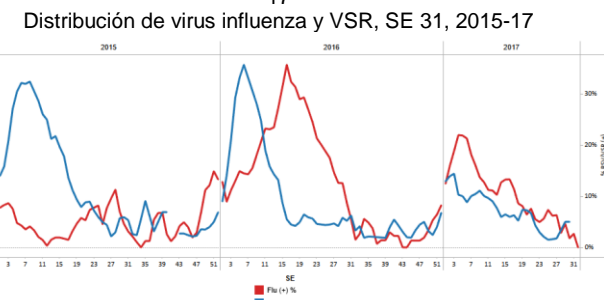
Ecuador

- Graph 1.** During EW 31, influenza activity remained at levels similar to prior weeks (~6% positivity), but with overall few detections; influenza B predominated. / Durante la SE 31, la actividad de influenza permaneció a niveles similares de semanas previas (~6% de positividad), pero con escasas detecciones en general; influenza B predominó.
- Graph 2.** As of EW 31, the influenza proportion slightly decreased and RSV proportion increased to 5% positivity, as compared to prior weeks. / En la SE 31, la proporción de influenza aumentó ligeramente y la proporción de VSR aumentó hasta 5% de positividad, en relación a las semanas previas.
- Graph 3.** During EW 31, SARI percent positivity was lower than levels from 2011-2016 seasons for the same period. / Durante la SE 31, el porcentaje de positividad por IRAG fue bajo en relación a los niveles de las temporadas 2011-2016 para el mismo período.
- Graph 4.** During EW 31, pneumonia case counts decreased from recent weeks and was lower than levels from 2013-2016 seasons for the same period. / Durante la SE 31, el recuento de casos de neumonía descendió en relación a semanas recientes y fue menor a los niveles de temporadas 2013-2016 para el mismo período.

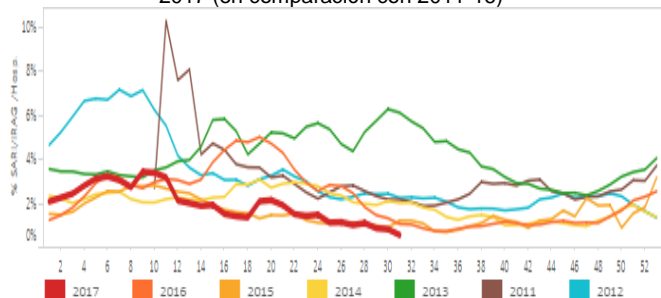
Graph 1. Ecuador: Influenza virus distribution by EW 31, 2014-17
Distribución de virus influenza por SE 31, 2014-17



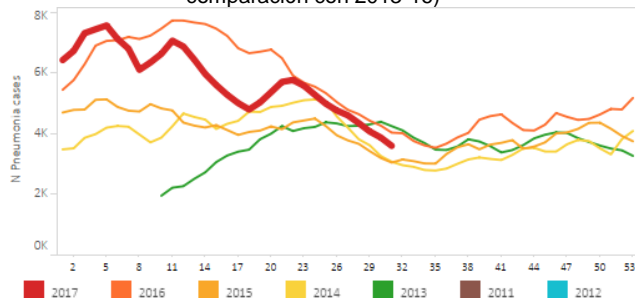
Graph 2. Ecuador: Influenza and RSV distribution, EW 31, 2015-17
Distribución de virus influenza y VSR, SE 31, 2015-17



Graph 3. Ecuador: Percentage of SARI cases out of all hospitalizations, by EW 31, 2017 (in comparison with 2011-16)
Porcentaje de casos IRAG de todas las hospitalizaciones, por SE 31, 2017 (en comparación con 2011-16)



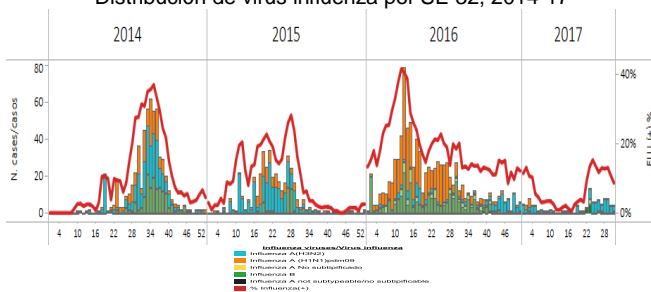
Graph 4. Ecuador: Pneumonia case counts, by EW 31, 2017 (in comparison with 2013-16)
Recuento de casos de neumonía, por SE 31, 2017 (en comparación con 2013-16)



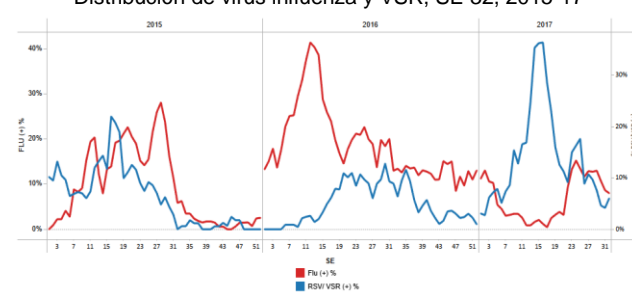
Peru

- Graph 1.** During EW 32, influenza A(H3N2) predominated, with positivity slightly decreasing to 10% this week. / Durante la SE 32, influenza A(H3N2) predominó, con ligera disminución de la positividad a 10% durante esta semana.
- Graph 2.** As of EW 32, influenza positivity (10%) slightly decreased and RSV slightly increased to 5%, as compared to prior weeks. Influenza counts were lower, while RSV activity was higher than levels observed during the 2015-16 season. / Durante la SE 32, la positividad de influenza (10%) disminuyó ligeramente y la de VSR aumentó ligeramente a 5%, en comparación a semanas previas. Los recuentos de influenza fueron menores, mientras que la actividad de VSR fue ligeramente superior a los niveles observados en la temporada 2015-2016.
- Graph 3.** During EW 33, ARI activity among children under 5 years of age slightly increased but remained within expected levels. / Durante la SE 33, la actividad de IRA entre los niños menores de 5 años aumentó ligeramente pero se encuentra dentro de lo esperado.
- Graph 4,5.** During EW 33, pneumonia cases slightly decreased from the prior week and below the alert threshold with the highest rates in the Eastern (Madre de Dios) and Northern/Northwestern (Arequipa, Ucayali) regions for the year 2017. Ucayali reported the highest cumulative incidence rate at 180 cases (per 10,000 cases). During EW 33, three departments reported pneumonia cases above its specific alert threshold: Ica, Madre de Dios and Tumbes. / Durante la SE 33, los casos de neumonía disminuyeron ligeramente en relación a la semana previa y bajo del umbral de alerta con las tasas más altas en las regiones este (Madre de Dios) y norte/noroeste (Arequipa, Ucayali) para el año 2017. Ucayali ha reportado la tasa de incidencia acumulada más alta con 180 casos (por 10.000 casos). Durante la SE 33, tres departamentos reportaron casos de neumonía sobre su umbral de alerta específico: Ica, Madre de Dios y Tumbes.
- Graph 6.** During EW 33, eleven departments reported pneumonia rates among children under 5 years of age to be higher than the pneumonia rates at national level (61.4 per 10,000 population): Amazonas, Arequipa, Callao, Huanuco, Lima, Loreto, Madre de Dios, Moquegua, Pasco, Tumbes and Ucayali. / Durante la SE 33, once departamentos reportaron tasas de neumonía en niños menores de 5 años mayores a la tasa de neumonía a nivel nacional (61,4 por 10.000 habitantes): Amazonas, Arequipa, Callau, Huanuco, Lima, Loreto, Madre de Dios, Moquegua, Pasco, Tumbes y Ucayali.

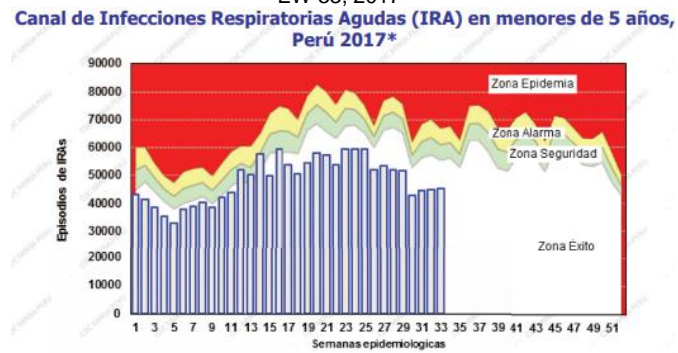
Graph 1. Peru: Influenza virus distribution by EW 32, 2014-17
Distribución de virus influenza por SE 32, 2014-17



Graph 2. Peru: Influenza and RSV distribution, EW 32, 2015-17
Distribución de virus influenza y VSR, SE 32, 2015-17



Graph 3. Peru. ARI endemic channel in children under 5 years, by EW 33, 2017

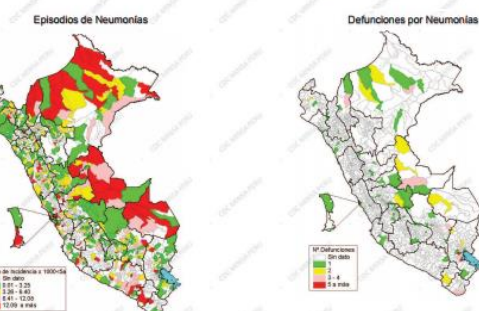


Graph 5. Peru: Pneumonia endemic channel in children under 5 years, by EW 33, 2017



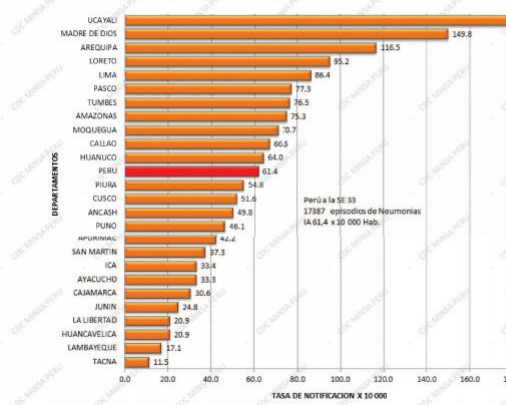
Graph 4 Peru: Map of pneumonia cases and deaths in children under 5 years, by EW 33, 2017

Mapa de Riesgo para neumonía y sus defunciones en niños menores de 5 años, Perú 2017*



Graph 6. Peru: Pneumonia cumulative incidence in children under 5 years, by department. EW 33

Incidencia acumulada de episodios por neumonía en menores de 5 años, según departamentos. Perú 2017*



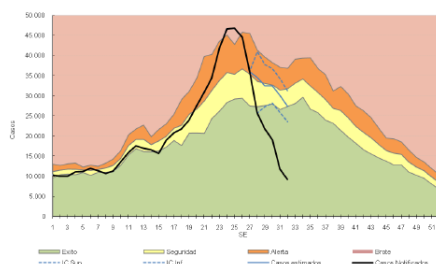
Argentina

- **Graph 1.** As of EW 32, estimated ILI activity decreased and remained within expected levels in the epidemic channel (security zone) as compared to previous years. During EW 32, all regions reported decreased ILI cases below its specific seasonal threshold, as compared to the 2012-2016 period⁸. One province reported cases above their specific alert thresholds during EW 32: San Luis. / Durante la SE 32, la actividad estimada de ETI disminuyó y permaneció dentro de los niveles esperados del canal epidémico (zona de seguridad), en comparación a los años previos. Durante la SE 32, todas las regiones reportaron menos casos de ETI por debajo de su umbral estacional específico, en comparación con el período 2012-2016. Una provincia reportó casos sobre su umbral de alerta específico durante la SE 32: San Luis.
- **Graph 2.** As of EW 32, estimated SARI activity decreased from levels observed in previous weeks and was at the alert threshold. / Durante la SE 32, la actividad estimada de IRAG disminuyó en relación a los niveles observados en semanas previas y se ubicó en el umbral de alerta.
- **Graph 3.** As of EW 32, estimated pneumonia activity decreased from levels observed in previous weeks, and were at expected levels in the epidemic channel (security zone); most cases were among children under 5 years of age. During EW 32, all five regions reported lower pneumonia cumulative rates, as compared to the 2016-2017 season for the same period. / Durante la SE 32, la actividad estimada de neumonía disminuyó en relación a los niveles observados en semanas previas, y se ubicó dentro de los niveles esperados del corredor endémico (zona de seguridad); la mayoría de los casos se registraron en niños menores de 5 años. Durante la SE 32, todas las cinco regiones reportaron menores tasas acumuladas de neumonía, en comparación a las observadas en la temporada 2016-2017 para el mismo período.
- **Graph 4.** As of EW 32, estimated bronchiolitis activity among children under 2 years of age slightly decreased and remained within expected levels in the epidemic channel (security zone) as compared to previous years. All the five regions reported lower bronchiolitis cumulative rates, as compared to the 2016 season for the same period. / Durante la SE 32, la actividad estimada de bronquiolitis en niños menores de 2 años disminuyó ligeramente y permaneció dentro de los niveles esperados del canal endémico (zona de seguridad) en comparación a años previos. Todas las cinco regiones reportaron menores tasas acumuladas de bronquiolitis, en comparación a la temporada 2016-2017 para el mismo período.
- **Graph 5.** During EW 33, influenza activity continued to decrease, with 4% positivity; influenza A(H3N2) and B co-circulated. / Durante la SE 33, la actividad de influenza continuó en descenso, con 4% de positividad; co-circularon influenza A(H3N2) e influenza B.
- **Graph 6.** As of EW 33, influenza positivity slightly decreased and RSV positivity slightly decreased and both were higher than levels reported in prior weeks and similar to the prior season. / Durante la SE 33, la positividad de influenza disminuyó ligeramente y la positividad de VSR disminuyó ligeramente, y ambos fueron superiores a los niveles reportados en las semanas previas y similares a la temporada anterior.
- **Graph 7.** From EW 1 to EW 32, 2017, 87 influenza-associated deaths were reported in 15 provinces: Buenos Aires (21), Buenos Aires City (31), Córdoba (4), Entre Ríos (1), Santa Fe (9), Misiones (1), Salta (3), Santiago del Estero (1), Tucumán (1), Mendoza (1), Chubut (1), La Pampa (1), Neuquén (2) and Rio Negro (9), and Santa Cruz (1). 55 cases were influenza A(H3N2) positive and 30 influenza A(unsubtyped), mostly among persons 50 years of age and older, 93.1% reported comorbidities and 62.02% without influenza vaccine history. Influenza-associated deaths during the 2017 season (n=87) were lower than levels observed during the 2016 season (n=230) for the same period. / Desde la SE1 a la SE 32 de 2017, se reportaron 87 muertes asociadas a influenza en 15 provincias: Buenos Aires (21), Buenos Aires City (31), Córdoba (4), Entre Ríos (1), Santa Fe (9), Misiones (1), Salta (3), Santiago del Estero (1), Tucumán (1), Mendoza (1), Chubut (1) y Santa Cruz (1). La Pampa (1), Neuquén (2) y Rio Negro (8). 55 casos resultaron positivos para influenza A(H3N2) y 30 influenza A(sin subtipificar), en su mayoría en mayores de 50 años, 93,1% reportaron comorbilidades y 62,02% sin antecedente de vacunación antigripal. Las muertes asociadas a influenza durante la temporada 2017 (n=87) fueron menores que los niveles observados durante la temporada 2016 (n=230) para el mismo período.

⁸ Report available at: <http://www.msal.gob.ar/index.php/home/boletin-integrado-de-vigilancia>

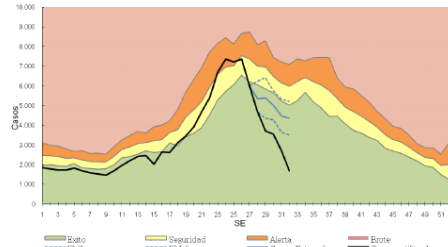
Graph 1. Argentina. ILI cases. Endemic channel, EW 32, 2017

Gráfico 1 - Argentina: Corredor endémico semanal de ETI 2017. Curva de casos y estimaciones hasta la SE32. Total país. Históricos 5 años: 2012 a 2016.

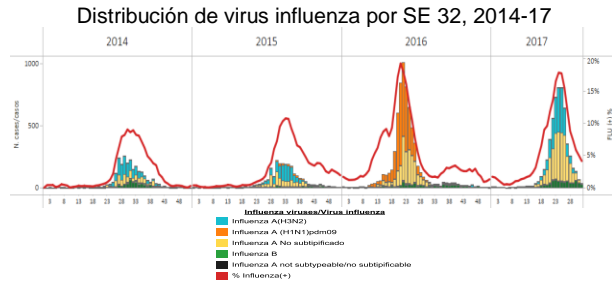


Graph 3. Argentina. Pneumonia cases. Endemic channel, EW 32, 2017

Gráfico 4. Argentina: Corredor endémico semanal de Neumonía 2017. Curva de casos y estimaciones hasta la SE32. Total país. Históricos 5 años: 2012 a 2016.

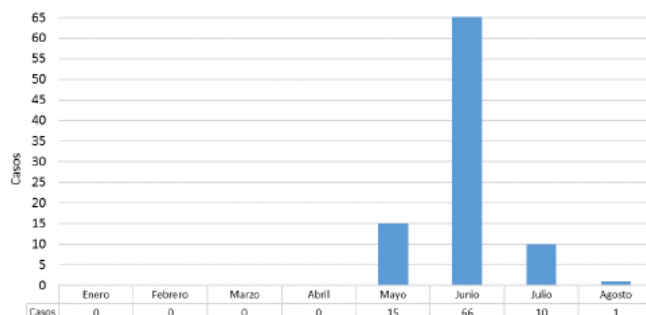


Graph 5. Argentina. Influenza virus distribution by EW 32, 2014-17



Graph 7. Argentina: Influenza-associated deaths by month. EW 1 to EW 32, 2014-17. Muertes asociadas a influenza por mes. SE 1 a 32, 2017. (n=87)

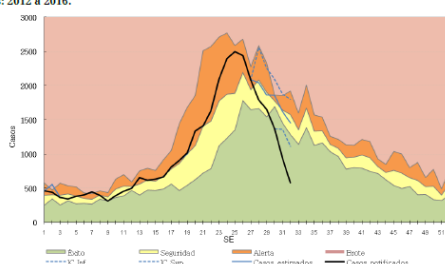
Figura 10 - Casos fallecidos con diagnóstico de Influenza por mes de SE1 a 32 de 2017. Argentina (n=87)



Fuente: Elaboración propia del Área de Vigilancia de la Salud de la Dirección de Epidemiología en base a información proveniente del Sistema Nacional de Vigilancia de la Salud (SNVS) SIVILA – C2 – UCIRAG.

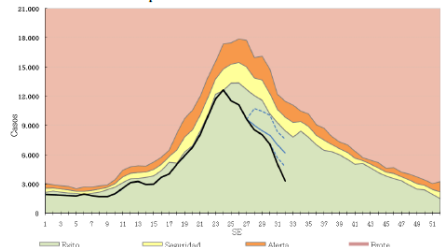
Graph 2. Argentina. SARI cases. Endemic channel, EW 32, 2017

Gráfico 7. Argentina: Corredor endémico semanal de IRAG. Curva de 2017 hasta SE32. Históricos 5 años: 2012 a 2016.



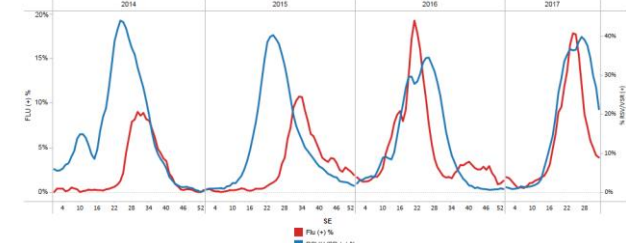
Graph 4. Argentina. Bronchiolitis cases. Endemic channel. EW 32, 2017.

Gráfico 5. Argentina: Corredor endémico semanal de Bronquiolitis 2017. Curva de casos y estimaciones hasta la SE32. Total país. Históricos 5 años: 2012 a 2016.



Graph 6. Argentina: Influenza and RSV distribution, EW 33, 2014-17

Distribución de virus influenza y VSR, SE 33, 2014-17

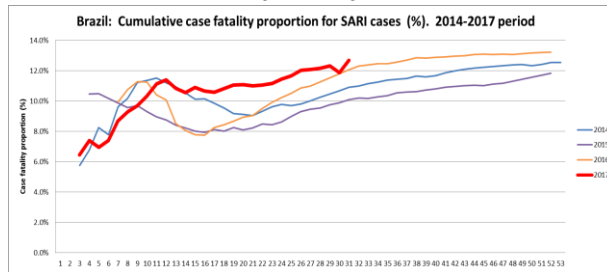


Brazil

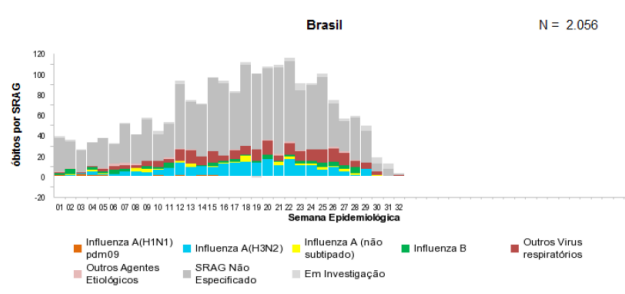
- Graph 1-3.** During EW 32, SARI hospitalizations slightly increased. The case fatality proportion among all SARI hospitalizations was 12.83% (2,056 SARI-related deaths/ 16,019 SARI-related hospitalizations), which was higher than the levels reported in previous seasons for the same period. Overall, 79% (n=269) of deaths were reported to have underlying risk-factors. Most SARI cases were reported in the southwest region of Brazil, most highly concentrated in São Paulo/ Durante la SE 32, las hospitalizaciones asociadas a IRAG aumentaron ligeramente. La proporción de casos fallecidos entre las hospitalizaciones por IRAG fue 12,83% (2.056 muertes asociadas a IRAG/ 16.019 hospitalizaciones por IRAG) que son superiores a los niveles observados en temporadas anteriores para el mismo período. En general, 79% (n=269) de todos los fallecidos presentaban factores de riesgo. La mayoría de los casos asociados a IRAG han sido reportados en la región suroeste de Brasil, principalmente provenientes de São Paulo.

- Graph 4.5.** The cumulative number of SARI cases (15,688) and deaths (1,989) as of EW 31 was reported to be above the levels in 2015 and lower than 2016. / Los casos (15.688) y fallecidos (1.989) acumulados asociados a IRAG hasta la SE 31 han sido por encima de los niveles notificados en 2015 y menores a los de 2016.
- Graph 6,7.** The cumulative number of influenza-positive SARI cases (1,965) and deaths (331) as of EW 31 was reported to be slightly higher than the levels in 2014-2015, but lower than 2016. / Los casos (1.965) y fallecidos (331) acumulados asociados a IRAG positivos para influenza hasta la SE 31 se han reportado ligeramente superiores a los niveles observados en 2014-2015, pero menores que en 2016.
- Cumulative SARI Cases (Flu+):** During EW 31, four states reported higher cumulative influenza-positive SARI cases than the 2016 season: Amazonas (6), Pernambuco (16), Piauí (1), and Tocantins (1). / Casos acumulados de IRAG (flu+): Durante la SE 31, cuatro estados reportaron casos acumulados de IRAG positivos para influenza mayores a los observados en la temporada 2015-2016: Amazonas (6), Pernambuco (16), Piauí (1), y Tocantins (1).
- Cumulative SARI Deaths (Flu+):** During EW 31, 2017, one state reported higher cumulative influenza-positive SARI deaths than the 2016 season: Tocantins (1). / Fallecidos acumulados de IRAG (flu+): Durante la SE 31, 2017, un estado reportó mayor número de muertes por IRAG positivas para influenza acumuladas que en la temporada 2015-2016: Tocantins (1).
- Graph 8.** During EW 32, influenza activity slightly decreased, with 12% positivity and influenza B predominated / Durante la SE 32, la actividad de influenza disminuyó, con 12% de positividad y predominio de influenza B.
- Graph 9.** As of EW 33, influenza positivity slightly decreased and RSV positivity among ILI cases slightly increased, as compared to levels from the previous weeks. / Durante la SE 33, la positividad de influenza disminuyó ligeramente y la positividad de VSR entre los casos de ETI aumentaron ligeramente, en relación a los niveles de las semanas previas.
- Graph 10.** As of EW 33, ILI case counts decreased, as compared to previous weeks, and to levels observed in the prior season for the same period. / Durante la SE 33, el recuento de casos de ETI disminuyó, en comparación a las semanas previas, y a los niveles observados en la temporada previa para el mismo período.

Graph 1. Brazil. Cumulative case fatality proportion for SARI cases (%) by EW. 2014-2017 period. EW 31.
Porción de casos fatales de IRAG acumulados (%). Período 2014-2017. EW 31.

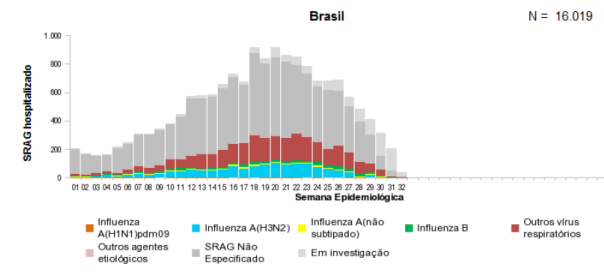


Graph 3. Brazil. SARI-related deaths, by EW 32, 2017
Distribución de fallecidos por IRAG, por SE 32, 2017



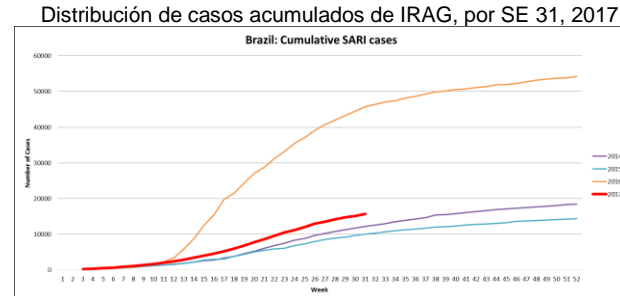
Fonte: SINAN Influenza Web. Dados atualizados em 13/8/2017, sujeitos a alteração.

Graph 2. Brazil. SARI-related hospitalizations, by EW 32, 2017
Hospitalizaciones asociadas con IRAG, por SE 32, 2017

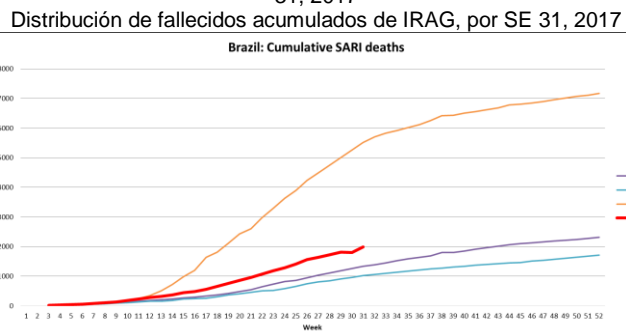


Fonte: SINAN Influenza Web. Dados atualizados em 13/8/2017, sujeitos a alteração.

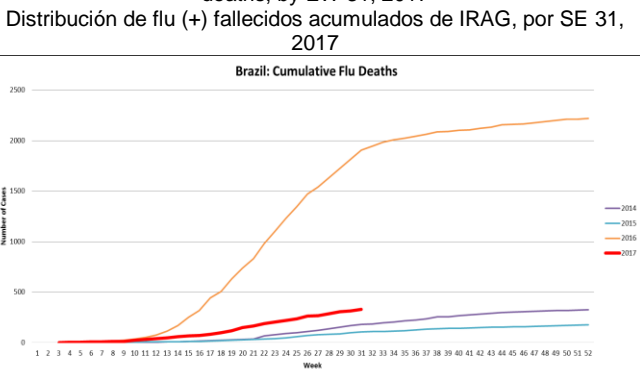
Graph 4. Brazil. Distribution of cumulative SARI-related cases, by EW 31 2017
Distribución de casos acumulados de IRAG, por SE 31, 2017



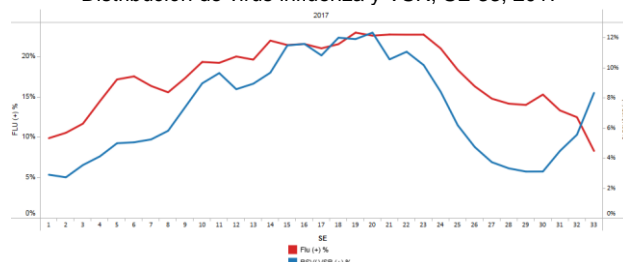
Graph 5. Brazil. Distribution of cumulative SARI-related deaths, by EW 31, 2017



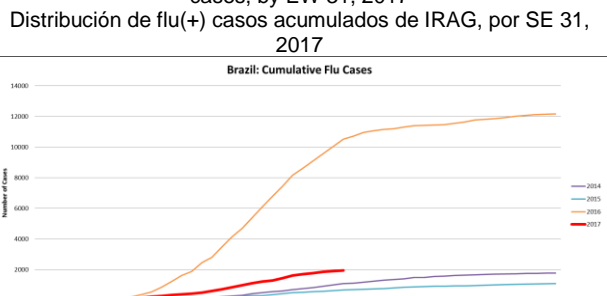
Graph 7. Brazil. Distribution of cumulative flu(+) SARI-related deaths, by EW 31, 2017



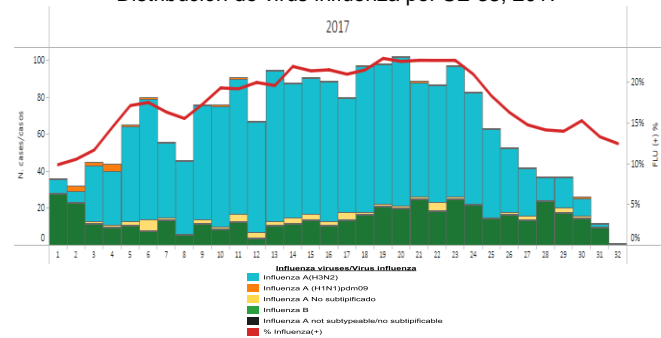
Graph 9. Brazil- ILI: Influenza and RSV distribution, EW 33, 2017



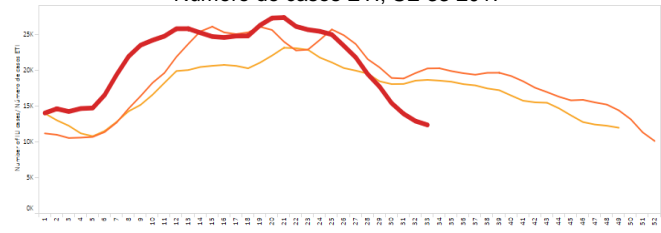
Graph 6. Brazil. Distribution of cumulative flu(+) SARI-related cases, by EW 31, 2017



Graph 8. Brazil- ILI. Influenza virus distribution by EW 33, 2017



Graph 10. Brazil- Number of ILI cases, EW 33, 2017

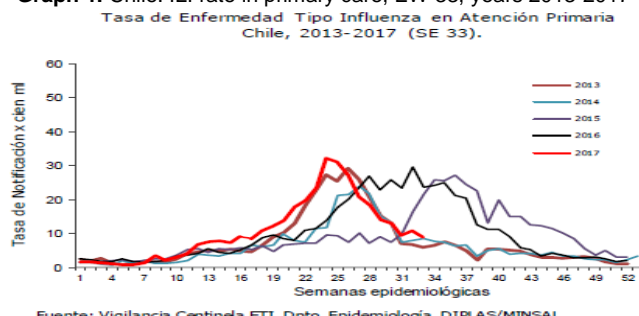


Chile

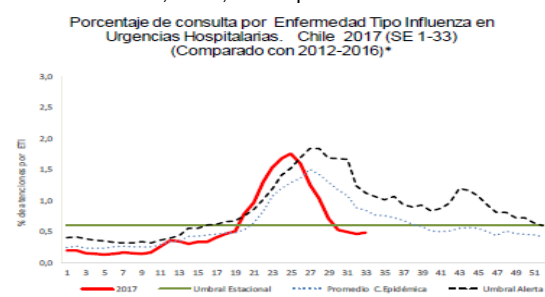
- Graph 1,2.** During EW 33, ILI activity slightly decreased below the alert threshold and the average epidemic curve. / Durante la SE 33, la actividad de ETI disminuyó ligeramente por debajo del umbral de alerta y la curva epidémica promedio.
- Graph 3.** During EW 33, the percentage of hospital emergency visits for ILI slightly decreased below the season threshold and was lower than levels observed in previous weeks. / Durante la SE 33, el porcentaje de consultas de urgencia hospitalaria por ETI disminuyó ligeramente por debajo del umbral estacional y fue menor a los niveles observados en semanas previas.
- Graph 4.** During EW 33, the proportion of SARI cases among all hospitalizations decreased from the prior week/ Durante la SE 33, la proporción de casos de IRAG sobre el total de hospitalizaciones disminuyó en relación a la semana previa
- Graph 5.** During EW 33, influenza detections slightly decreased from the previous week with 4% positivity reported, with influenza A(H3N2) and B co-circulating. / Durante la SE 33, las detecciones de influenza disminuyeron ligeramente de la semana previa con 4% de positividad reportada, con co-circulación de influenza A(H3N2) y B.
- Graph 6,7.** During EW 33, influenza proportion slightly decreased and RSV activity remained moderate with increased positivity of 25%. / Durante la SE 33, la proporción de influenza disminuyó ligeramente y la actividad de VSR se mantiene moderada con elevada positividad de 25%.
- Graph 8.** During EW 33, the number of ILI cases slightly decreased from levels observed in previous weeks and was lower than the previous season for the same period. / Durante la SE 33, el número de casos de ETI disminuyó ligeramente en relación a los niveles observados en semanas previas y fue menor a la temporada anterior para el mismo período.

- Graph 9.** During EW 33, Aisén region reported higher ILI case counts as compared to previous seasons. Most of the cases were reported among children less than 14 years of age. / Durante la SE 33, la región de Aisén reportó un incremento de casos de ETI en comparación con las temporadas previas. La mayoría de los casos fueron reportados en el grupo de menores de 14 años de edad.
- Graph 10.** During EW 33, Aisén region reported increased RSV positive samples as compared to previous weeks. / Durante la SE 33, la región de Aisén reportó un incremento de muestras positivas para VSR, en comparación a las semanas previas.
- Graph 11.** During EW 33, Aisén region reported higher SARI case counts as compared to previous weeks. Most of the cases were reported among children less than 5 year old. / Durante la SE 33, la región de Aisén reportó un incremento de casos de IRAG en comparación con las semanas previas. La mayoría de los casos fueron reportados en el grupo de menores de 5 años.
- Graph 12.** During EW 33, Los Lagos region reported higher ILI case counts as compared to previous seasons, with RSV predominating in recent weeks. / Durante la SE 33, la región de Los Lagos reportó un incremento de casos de ETI en comparación con las temporadas previas, con predominio de VSR en las últimas semanas.

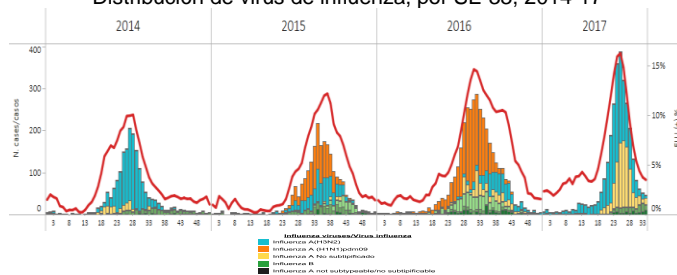
Graph 1. Chile. ILI rate in primary care, EW 33, years 2013-2017



Graph 3. Chile. Percentage of hospital emergency visits for ILI, by EW 33, 2017, in comparison to 2012-16



Graph 5. Chile: Influenza virus distribution by EW 33, 2014-17

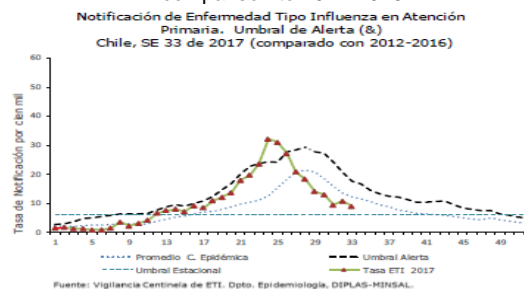


Graph 7. Chile. SARI cases with samples positive for influenza and RSV, EW 33 2017 in comparison 2015-16

Casos IRAG con muestras positivas por influenza y VSR, SE 33 2017, en comparación 2015-16

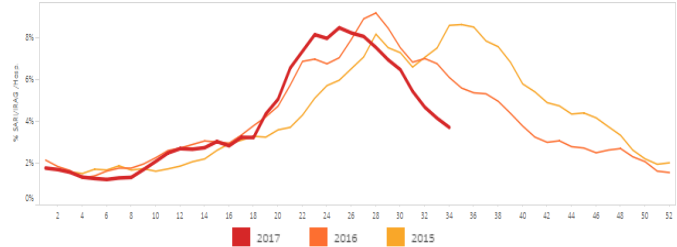


Graph 2. Chile. ILI rate, Alert threshold by EW 33, 2017; in comparison to 2012-2016



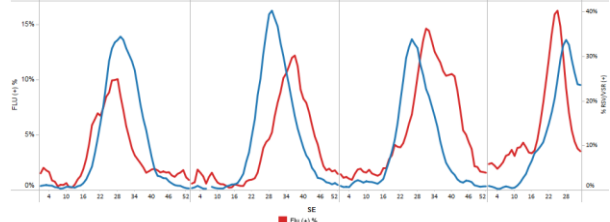
Graph 4. Chile. Percent of SARI cases from all hospitalizations, EW 33, 2015-2017

Porcentaje de casos IRAG por las hospitalizaciones totales, SE 33, 2015-2017



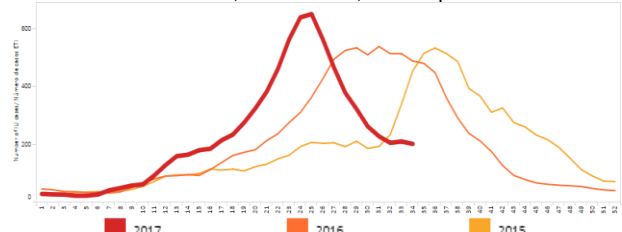
Graph 6. Chile: Influenza and RSV distribution, EW 33, 2014-17

Distribución de virus influenza y VSR, SE 33, 2014-17

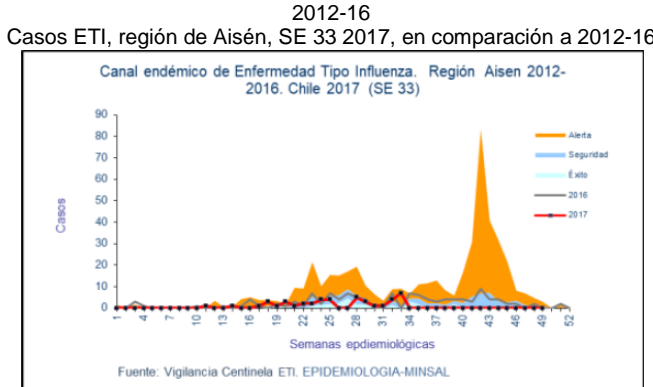


Graph 8. Chile. Number of ILI cases, EW 33 2017 in comparison 2015-16

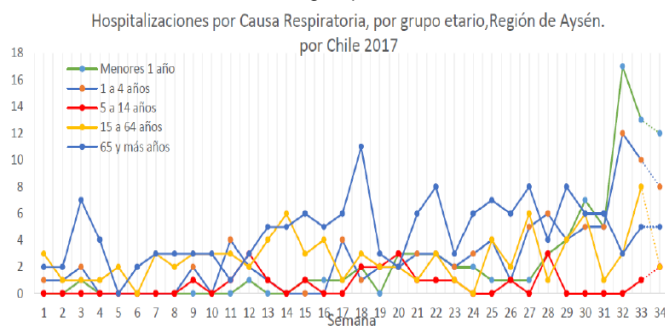
Número de casos ETI, SE 33 2017, en comparación 2015-16



Graph 9. Chile. ILI cases, Aisén region, EW 33 2017 in comparison to 2012-16

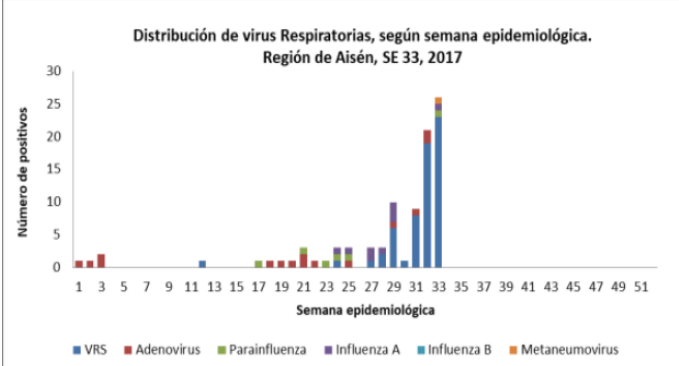


Graph 11. Chile. SARI cases, Aisén region, EW 33 2017 by age group



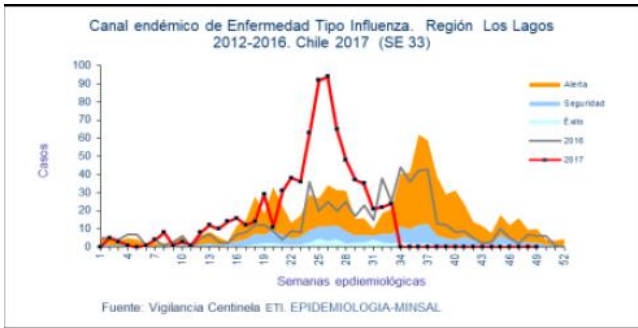
Graph 10. Chile. Influenza and ORV distribution, Aisén region, EW 33 2017.

Distribución de influenza y otros virus respiratorios, región de Aisén, SE 33 2017.



Graph 12. Chile. ILI cases, Los Lagos region, EW 33 2017 in comparison to 2012-16

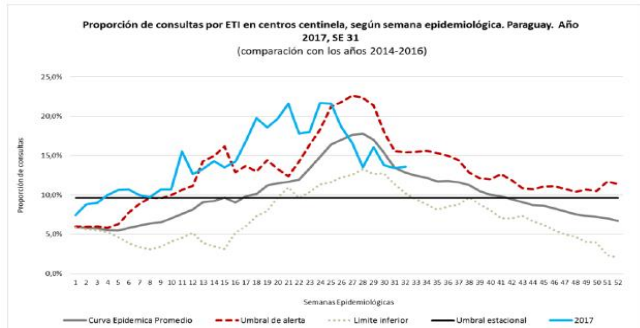
Casos ETI, región de Los Lagos, SE 33 2017, en comparación a 2012-16



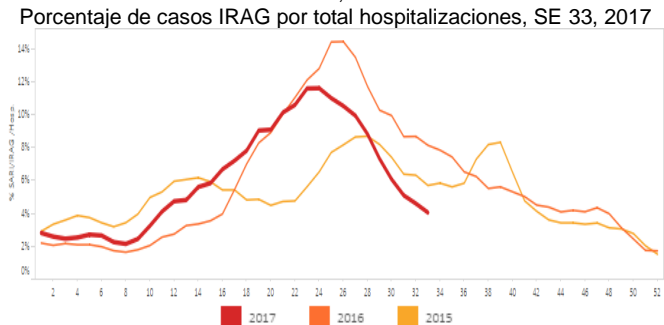
Paraguay

- Graph 1.** During EW 31, ILI activity slightly decreased, as compared to the prior week and was below the alert threshold and at the average epidemic curve. / Durante la SE 31, la actividad de ETI aumentó ligeramente, en comparación con la semana previa y se ubicó por debajo del umbral de alerta y en la curva epidémica promedio.
- Graph 2, 3.** During EW 33, SARI activity slightly decreased below the alert threshold with the percent of SARI cases among all hospitalizations lower than prior weeks. / Durante la SE 33, la actividad de IRAG disminuyó ligeramente por debajo del umbral de alerta con el porcentaje de casos de IRAG sobre el total de hospitalizaciones a niveles menores que en las semanas previas.
- Graph 4.** During EW 33, the number of pneumonia cases slightly decreased from previous weeks and remained at similar levels reported during 2016 for the same period. / Durante la SE 33, el número de casos de neumonía disminuyó ligeramente en relación a las semanas previas y permaneció a niveles similares reportados durante el mismo período de 2016.
- Graph 5.** During EW 33, the number of ARI cases slightly increased from previous weeks and remained at similar levels reported during 2016 for the same period. / Durante la SE 33, el número de casos de neumonía aumentó ligeramente en relación a las semanas previas y permaneció a niveles similares reportados durante el mismo período de 2016.
- Graph 6,7.** During EW 33, RSV case-counts remained at low levels. Influenza activity slightly decreased in EW 33, with 7% positivity and influenza A(H3N2) and B co-circulating. The number of influenza positive samples was slightly lower than levels observed during 2016. / Durante la SE 33, los casos de VSR asociados con IRAG permanecieron a niveles bajos. La actividad de influenza adisminuyó ligeramente en SE 33, con 7% de positividad y co-circulación de influenza A(H3N2) y B. El número de muestras positivas de influenza fue ligeramente menor que los niveles observados durante 2016.

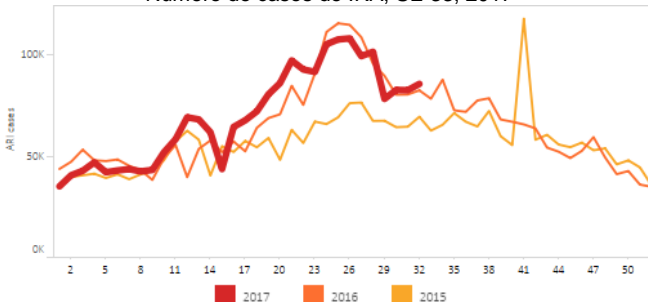
Graph 1. Paraguay: Proportion of ILI consultations, EW 31, 2017



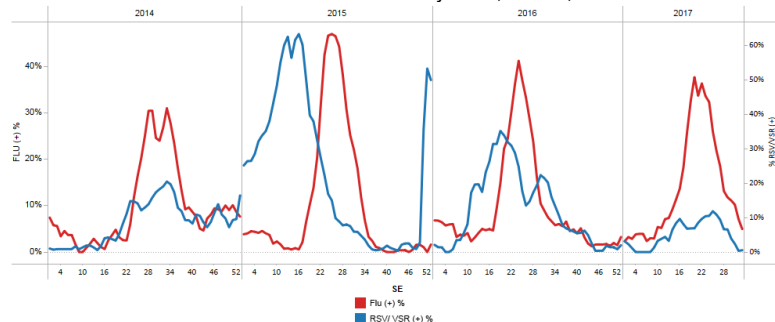
Graph 3. Paraguay: Percent of SARI cases per total hospitalizations, EW 33, 2017
Porcentaje de casos IRAG por total hospitalizaciones, SE 33, 2017



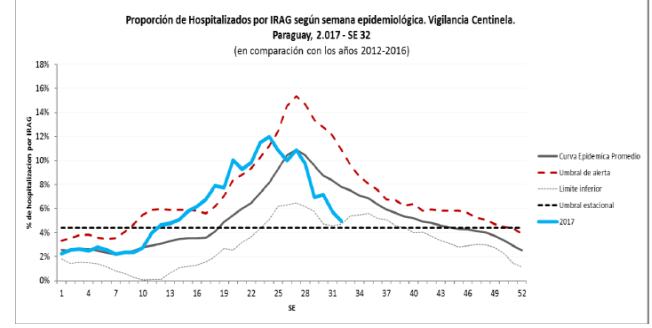
Graph 5. Paraguay: Number of cases for ARI, EW 33, 2017
Número de casos de IRA, SE 33, 2017



Graph 7. Paraguay: Influenza and RSV distribution, EW 33, 2014-17
Distribución de virus influenza y VSR, SE 33, 2014-17



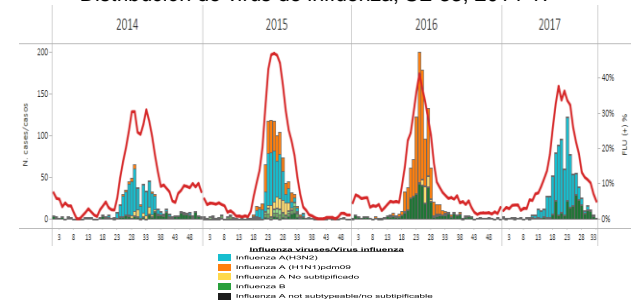
Graph 2. Paraguay: Distribution of SARI cases EW 32, 2017



Graph 4. Paraguay: Number of cases for pneumonia, EW 33, 2017
Número de casos de neumonía, SE 33, 2017



Graph 6. Paraguay: Influenza virus distribution EW 33, 2014-17
Distribución de virus de influenza, SE 33, 2014-17



Uruguay

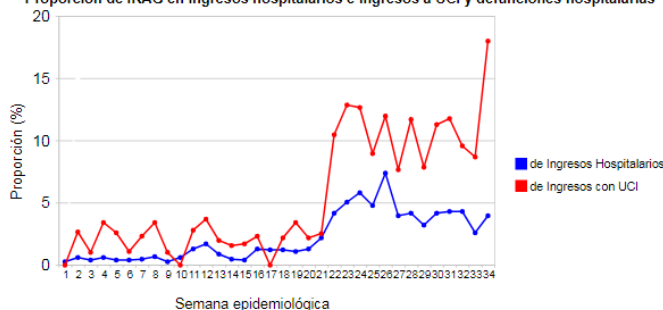
- Graph 1.** As of EW 33, the proportion of SARI-related ICU admissions and SARI-related hospitalizations slightly increased from levels observed in previous weeks and were mainly among children under 5 years of age⁹. Overall, from EW 1 to EW 32, 27% of SARI hospitalizations ($n=270$) and 46% of SARI-related UCI admissions ($n=97$) had underlying comorbidities. / Hasta la SE 33, la proporción de ingresos a UCI asociados a IRAG y las hospitalizaciones por IRAG aumentaron ligeramente respecto a los niveles observados en

⁹ Data available at: <http://colo1.msp.gub.uy/epidemiologia/servlet/iraggrafmenu>

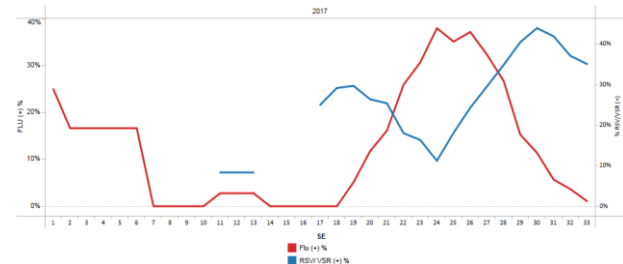
semanas previas y se reportaron principalmente en niños menores de 5 años. En general, desde la SE 1 hasta la SE 32, 27% de las hospitalizaciones por IRAG (n=270) y 46% de las admisiones a UCI por IRAG (n=97) presentaron comorbilidades asociadas.

- **Graph 2.** There was slightly decreased activity of RSV but remained moderate as of EW 33, with 35% positivity; and influenza detections decreased (1% positivity). / Se observó una ligera disminución de la actividad de VSR pero se mantiene moderada a la SE 33, con 35% de positividad; y las detecciones de influenza disminuyeron (1% de positividad).
- **Graph 3.** During EW 33, there was similar influenza activity among SARI cases as compared to previous weeks, with influenza A(H3N2) predominating / Durante la SE 33, se registró una actividad de influenza entre los casos de IRAG similar a la observada en las semanas previas, con predominio de influenza A(H3N2).
- **Graph 4.** During EW 29, the percentage of SARI cases decreased from levels observed in previous weeks. / Durante la SE 29, el porcentaje de casos de IRAG disminuyó en relación a los niveles observados en semanas previas.

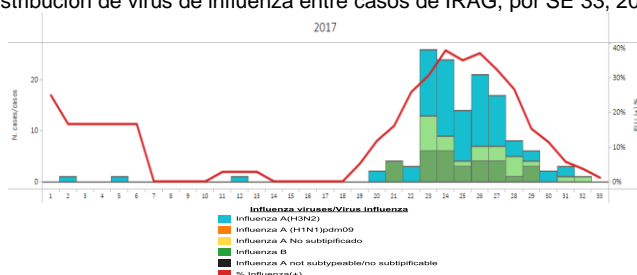
Graph 1. Uruguay: % SARI & ICU admissions by EW 34, 2015-17
Proporción de IRAG en ingresos hospitalarios e ingresos a UCI y defunciones hospitalarias



Graph 2. Uruguay IRAG: Influenza and RSV distribution among SARI cases, EW 33, 2017
Distribución de virus influenza y VSR entre casos de IRAG, SE 33 2017



Graph 3. Uruguay IRAG: Influenza virus distribution among SARI cases by EW 33, 2017
Distribución de virus de influenza entre casos de IRAG, por SE 33, 2017



Graph 4. Uruguay: Percent of SARI cases per total hospitalizations, EW 29, 2017
Porcentaje de casos IRAG por total hospitalizaciones, SE 29, 2017



ACRONYMS

ARI	Acute Respiratory Infection
CARPHA	Caribbean Public Health Agency
CENETROP	Centro de Enfermedades Tropicales (Santa Cruz, Bolivia)
EW	Epidemiological Week
ILI	Influenza-like illness
INLASA	Instituto Nacional de Laboratorios de Salud (La Paz, Bolivia)
INS	Instituto Nacional de Salud
ORV	Other respiratory viruses
SARI	Severe acute respiratory infection
SEDES	Servicio Departamental de Salud (Bolivia)
ICU	Intensive Care Unit
RSV	Respiratory Syncytial Virus

ACRÓNIMOS

CARPHA	Agencia de Salud Pública del Caribe/Caribbean Public Health Agency
CENETROP	Centro de Enfermedades Tropicales (Santa Cruz, Bolivia)
ETI	Enfermedad Tipo influenza
INLASA	Instituto Nacional de Laboratorios de Salud (La Paz, Bolivia)
INS	Instituto Nacional de Salud
IRA	Infección Respiratoria Aguda
IRAG	Infección Respiratoria Aguda grave
OVR	Otros virus respiratorios
SE	Semana epidemiológica
SEDES	Servicio Departamental de Salud (Bolivia)
UCI	Unidad de Cuidados Intensivos
VSR	Virus Sincitial Respiratorio